

引言

STM32WB系列微控制器集成了用于低功耗蓝牙[®]的高品质RF收发器和802.15.4无线电解决方案。

与传统电路相比，需要特别注意RF板的布局。

在高频率下，铜互联部件（走线）表现为功能电路元件，这些元件会引入可能降低RF性能的干扰。走线和焊盘所产生的寄生成分对电路的整体性能具有显著影响。必须仔细遵循布局规则，以减轻这些影响并实现所需性能。

本文档介绍了为实现MCU的最佳性能而采取的预防措施。该描述基于用于2层PCB的特定QFN48 / QFN68参考板以及用于4层PCB的QFN68 Nucleo板。

这些指南具有通用性，需要根据具体应用进行调整。

目录

1	RF基础知识	6
1.1	术语	6
1.1.1	功率	6
1.1.2	增益	6
1.1.3	损耗	6
1.1.4	反射系数、电压驻波比和回波损耗	6
1.1.5	谐波	7
1.1.6	杂散	7
1.1.7	互调	7
1.2	阻抗匹配	7
1.3	史密斯圆图	7
1.3.1	归一化阻抗	8
1.3.2	读取史密斯圆图	8
2	参考板原理图	12
3	Nucleo板 (MB1355C) 原理图	15
4	元件选择	21
4.1	电容	21
4.2	电感	22
4.3	SMPS	23
4.4	外部晶振	24
5	PCB层叠和技术	25
5.1	射频传输线	25
5.2	PCB基板选择	25
5.3	2层PCB	26
5.4	4层PCB	27
6	2层PCB的布局建议	28
6.1	关键部件	28
6.1.1	RF	28

6.1.2	SMPS	29
6.1.3	LSE	30
7	4层PCB Nucleo板MB1355C	31
7.1	关键部件	37
7.1.1	RF	37
7.1.2	SMPS	37
7.1.3	LSE	38
7.1.4	天线	39
8	带IPD的UFQFN48/VFQFN68参考板	41
9	结论	44
10	版本历史	45

表格索引

表1.	外部元件	12
表2.	电容温度范围	22
表3.	文档版本历史	45
表4.	中文文档版本历史	45

图片索引

图1.	史密斯圆图	8
图2.	串联	9
图3.	史密斯导纳圆图	9
图4.	并联	10
图5.	有关阻抗和导纳的史密斯圆图	10
图6.	带VSWR的史密斯圆图	11
图7.	通过免费的史密斯软件来调整网络	11
图8.	UFQFPN48参考板	13
图9.	VFQFPN68参考板	14
图10.	原理图 - GPIO和XTAL、MB1355C	16
图11.	原理图 - RF部分、MB1355C	17
图12.	原理图 - 外部连接器、MB1355C	18
图13.	原理图 - 电源管理、MB1355C	19
图14.	原理图 - ST LINK、MB1355C	20
图15.	电容器等效电路	21
图16.	电容器阻抗vs频率	21
图17.	电感等效电路	22
图18.	电感器阻抗vs频率	23
图19.	外部晶振的连接	24
图20.	共面波导 (CPW)	25
图21.	2层PCB	26
图22.	2层PCB - 用于UFQFPN48和VFQFPN68的参考板	26
图23.	4层PCB	27
图24.	4层PCB - 用于VFQFPN68的Nucleo板	27
图25.	UFQFPN48的PCB布局 (从左到右: 全部、顶层和底层)	28
图26.	VFQFPN68的PCB布局 (从左到右: 全部、顶层和底层)	28
图27.	RF的PCB布局细节 (左侧为UFQFPN48、右侧为VFQFPN68)	29
图28.	SMPS部件的PCB布局细节 (左侧为UFQFPN48、右侧为VFQFPN68)	29
图29.	LSE的PCB布局细节 (左侧为UFQFPN48、右侧为VFQFPN68)	30
图30.	VFQFPN68板	31
图31.	VFQFPN68板 - PCB布局 - 所有层	32
图32.	VFQFPN68板 - PCB布局 - 顶层	33
图33.	VFQFPN68板 - PCB布局 - 内层1	34
图34.	VFQFPN68板 - PCB布局 - 内层2	35
图35.	VFQFPN68板 - PCB布局 - 底层	36
图36.	RF的PCB布局细节	37
图37.	SMPS的PCB布局细节	38
图38.	LSE的PCB布局细节	38
图39.	天线的PCB布局细节	39
图40.	天线路由的PCB布局细节	39
图41.	不同的匹配网络 (左边是分立元件、右边是IPD)	41
图42.	MLPF-WB55-01E3板的RF性能	41
图43.	IPD封装 (无凸块CSP)	42
图44.	采用分离匹配网络 (左) 和IPD (右) 的PCB布局	43

1 RF基础知识

本节涵盖了用于RF板设计的通用术语和定义。

以下参考资料可为用户提供帮助。

1 Paul Horowitz和 Winfield Hill	《电子艺术》 (第3版)	剑桥大学出版社
2 Roger C. Palmer	《为通信系统而设计的RF电路简介》 (第2版)	纽恩士出版社
3 Christopher Bowick	《射频电路设计》(第2版)	纽恩士出版社
4 Joseph J. Carr和 George W. Hippisley	《实用天线手册》 (第5版)	麦格希教育出版社
5 史密斯圆图 (免费软件)		http://www.fritz.dellsperger.net
6 共面波导计算器 (免费软件)		http://wcalc.sourceforge.net

1.1 术语

1.1.1 功率

该单位以dBm表示，用于衡量RF信号强度：**dBm=10LogP**，其中P为以mW为单位的功率。其计算方式为：

- 1 pW = -90 dBm
- 10 μW = -20 dBm
- 1 mW = 0 dBm
- 2 mW = 3 dBm
- 10 mW = 10 dBm

1.1.2 增益

增益（以dB表示）是RF器件的输出和输入功率之间的比率。负值对应于衰减。

1.1.3 损耗

如果电路的两个级之间存在阻抗不匹配、传输线设计不正确或PCB材料选择不正确的问题，则会出现信号功率损耗，并非所有功率能从某一级传输到下一级。还存在固有损耗，如介电损耗，这取决于用于制造电路板的层压板和材料。

1.1.4 反射系数、电压驻波比和回波损耗

当信号通过传输线从信号源流向负载时，如果传输线与负载的特征阻抗不匹配，则部分信号将被反射回信号源。反射信号的极性和幅度取决于负载阻抗是高于还是低于线路阻抗。

反射系数 (Γ) 用于衡量反射波幅度与入射波幅度之间的对应关系, 即 $\Gamma = (Z - Z_0) / (Z + Z_0) = (z - 1) / (z + 1)$ 。

电压驻波比 (VSWR) 用于衡量连接点处的阻抗匹配精度。它为反射系数的函数, 用以下公式表示: $VSWR = (1 + |\Gamma|) / (1 - |\Gamma|)$ 。如果VSWR为1, 则无反射功率。

回波损耗 (RL) 是反射系数的函数, 但以dB表示: $RL = 20 \log |\Gamma|$ 。

1.1.5 谐波

谐波频率为输入频率 (基频) 的整数倍。

1.1.6 杂散

杂散频率为输入频率 (不需要的频率) 的非整数倍。

1.1.7 互调

当两个RF信号混合在一起时, 互调产物信号由两个信号之和与之差的整数倍组成。

1.2 阻抗匹配

为优化射频性能, 必须调整天线到芯片输入的阻抗匹配, 以及芯片输出到天线的阻抗匹配。

如果该适应较差, 则会在RX/TX链中带来损耗。这些损耗会使所发送信号的灵敏度和幅度立即降低。这些不适应如果足够严重, 则会增加TX谐波电平。

因此, 努力尽可能适应RF链路非常重要。对于STM32WB的低功耗蓝牙[®]带宽, 尤其是在RF频率方面, 杂散元素 (如PCB走线电感和层电容、走线长度) 对阻抗匹配具有显著影响。为在负载和STM32WB之间实现最佳TX/RX预算 (信号和能量的最佳传输), 在两个模块之间需要专用的匹配网络。

当源的内部电阻等于负载的电阻时, 以最大功率传输。当扩展到具有与频率有关的信号的电路时, 为实现最大功率传输, 负载阻抗必须为源阻抗的复共轭。

1.3 史密斯圆图

史密斯圆图 ([图 1](#)) 用于确定匹配网络。

1.3.1 归一化阻抗

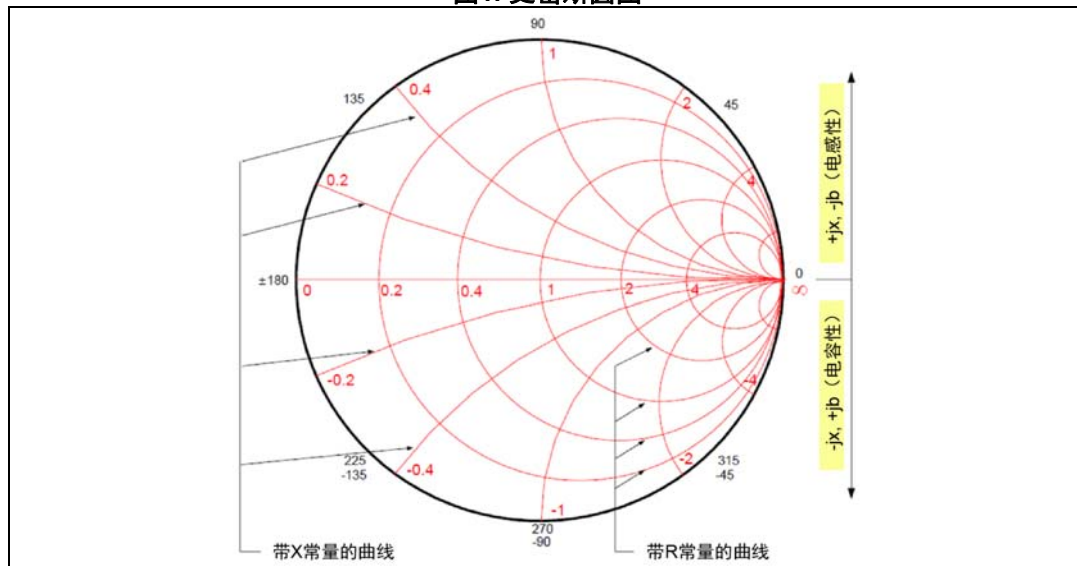
归一化阻抗 z 为复阻抗（ r 为实部、 x 为虚部）： $z = r + jx = Z / Z_0$ ，其中 Z_0 为特征阻抗，通常为常数（在我们的例子中， $Z_0 = 50 \Omega$ ）。

对于电容， $z = -j / (2 \pi * f * C * Z_0)$ ，对于电感， $z = j (2 \pi * f * L) / Z_0$ 。

1.3.2 读取史密斯圆图

史密斯圆图用归一化阻抗 $z = Z / Z_0$ 表示。

图1. 史密斯圆图



如果 $Z_0 = 50 \Omega$ ，当存在匹配时（ $Z = Z_0$ ）， 50Ω 下的归一化阻抗为1，这是史密斯圆图的中心。匹配网络的搜索目标是朝这一点收敛。

史密斯圆图的水平轴表示纯电阻：在左侧， $z = 0$ （短路），在右侧， $z = \infty$ 。

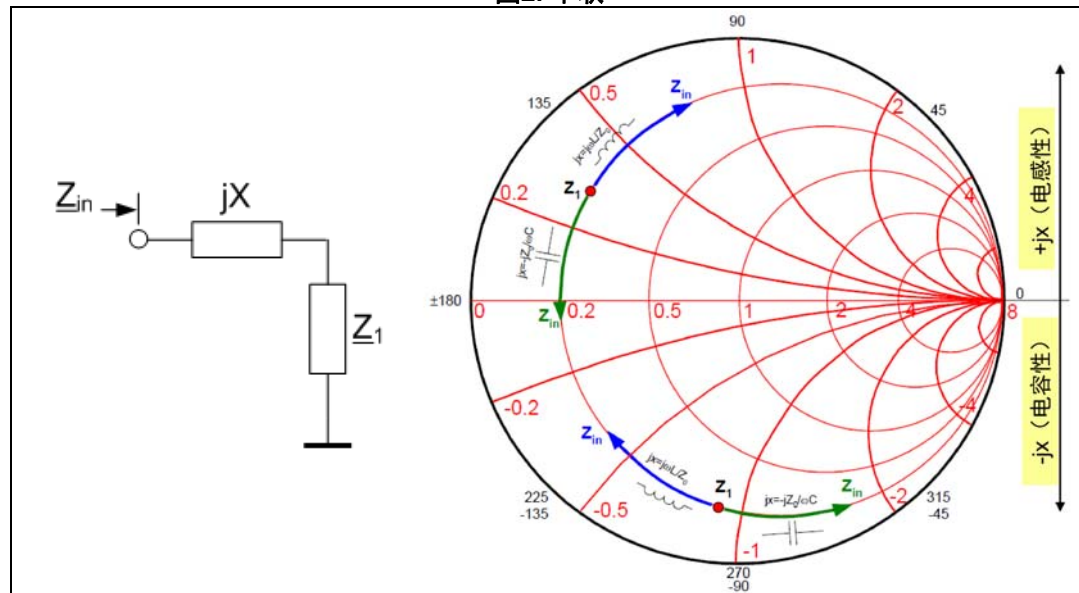
X轴上方的区域表示带感应电抗（复阻抗的正虚部）或电容性电纳（复导纳的正虚部）的阻抗。

X轴下方的区域表示带电容性电抗（复阻抗的负虚部）或电感性电纳（复导纳的负虚部）的阻抗。

串联电感或电容

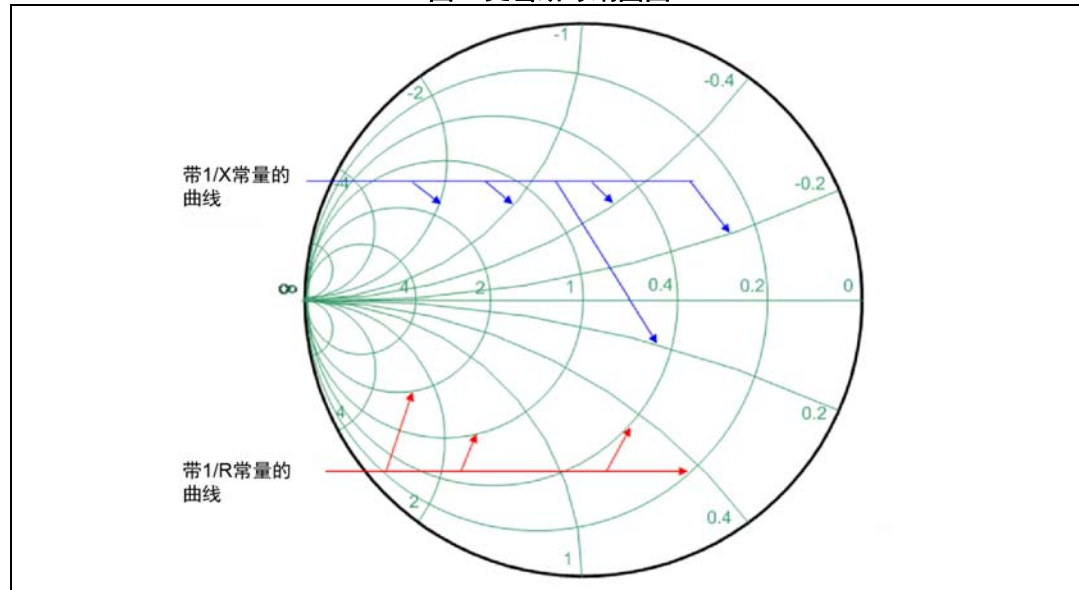
如果电感或电容与负载阻抗 Z_1 串联，则产生的阻抗 Z_{in} 按图2所示移动。

图2. 串联



对于归一化阻抗 (z) 中的史密斯圆图，史密斯圆图可以用归一化导纳 ($y = 1/z$) 表示，如图3所示。

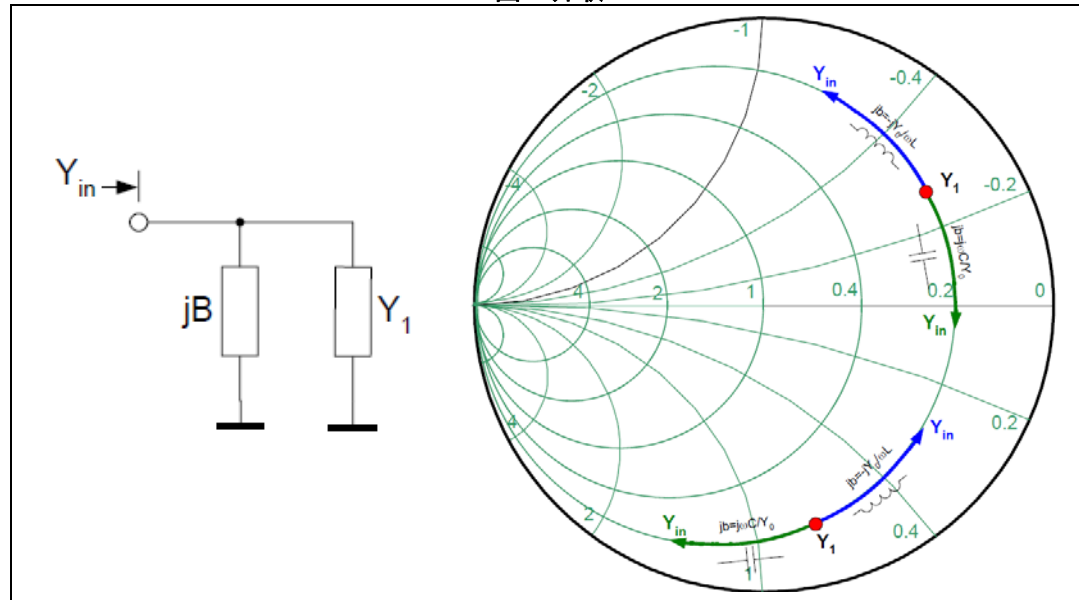
图3. 史密斯导纳圆图



并联电感或电容

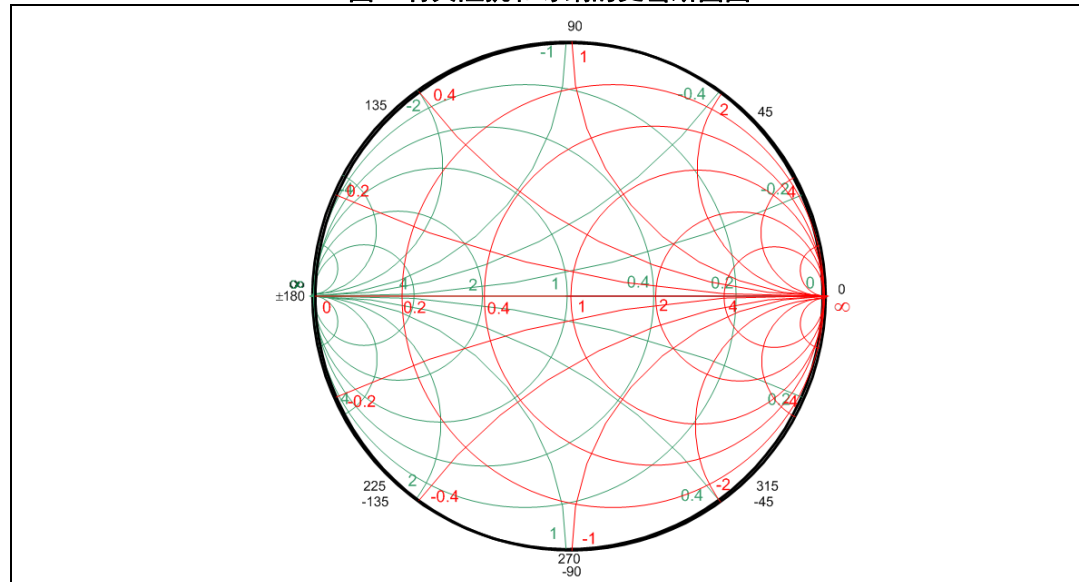
如果电感或电容与负载导纳 Y_1 并联，则产生的阻抗 Y_{in} 按图4所示移动。

图4. 并联



在图5中，史密斯圆图位于阻抗和导纳平面中。

图5. 有关阻抗和导纳的史密斯圆图



带常量VSWR的圆是可以从史密斯圆图中获得的额外信息，即使这些圆未显示。这些圆具有相同的中心，并且其值是与中心右侧的水平轴交点处的值（参见图6）。

图6. 带VSWR圆圈的史密斯圆图

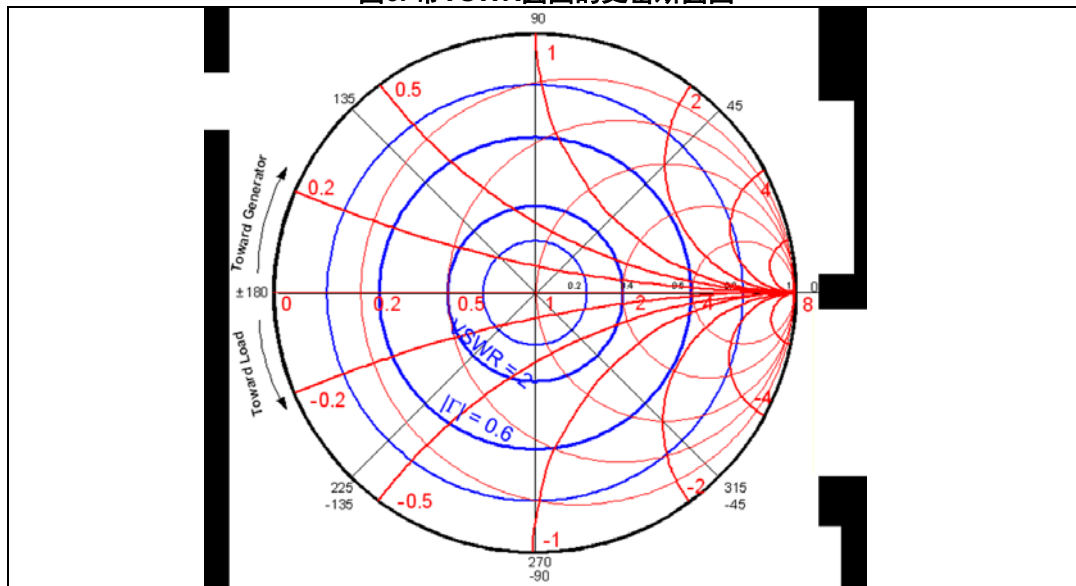
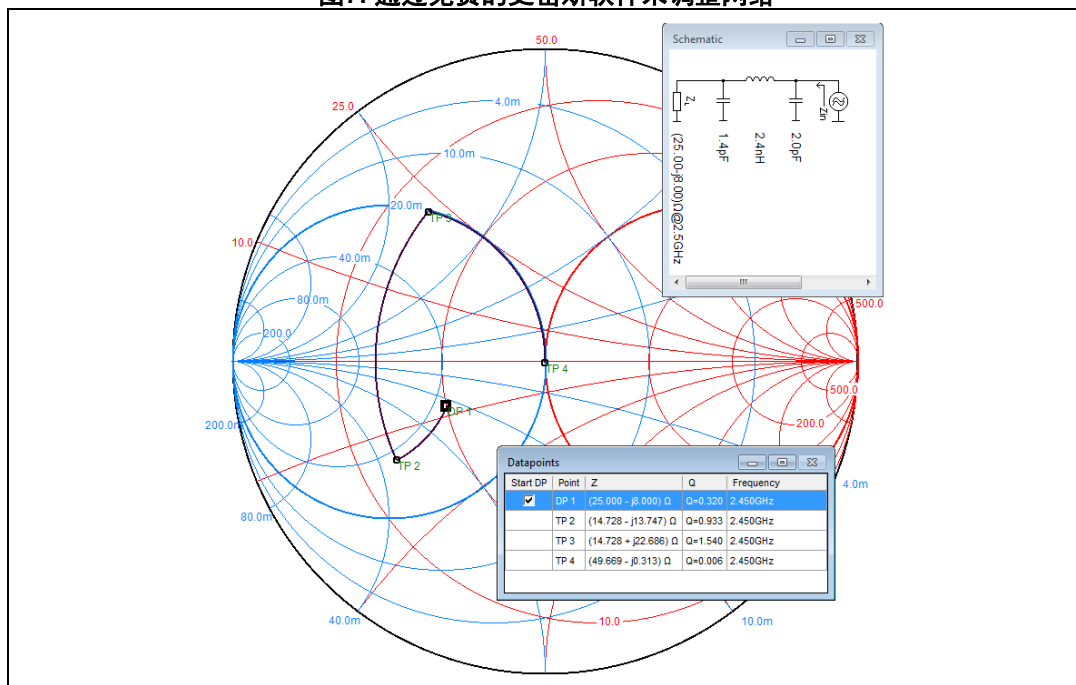


图 7 是免费软件“史密斯圆图”的一个示例：从 $Z_L = (25.00 - j*8.00) \Omega$ 开始（在史密斯圆图上以 DP1 表示），其目标是获得 $Z_{in} = 50 \Omega$ 。通过添加（串联或并联）电感或电容，阻抗朝图中心收敛。

图7. 通过免费的史密斯软件来调整网络



2 参考板原理图

STM32WB系列微控制器基于Arm^{®(a)}内核。

图 8和图 9中的原理图分别表示UFQFPN48和VFQFPN68封装的2层参考板。RF输出仅来自SMA。下一段中描述的两层PCB的所有布局指南均基于这些板。

表1. 外部元件

元件	说明
C1, C2	V_{DDRF} 的去耦电容
C3, C4	匹配电容
C5, C6, C7	V_{DD} 的去耦电容
C8	V_{BAT} 的去耦电容
C9	V_{DDUSB} 的去耦电容
C10	V_{DDA} 的去耦电容
C12	SMPS的去耦电容
C11, C13	DC-DC转换器滤波电容
C14, C15	X2电容
C16	NRST引脚的去耦电容
D1	NRST引脚的二极管保护
FLT1	集成低通滤波器
L1	匹配电感
L2	DC-DC转换器电感
L3	V_{DDA} 的滤波电感
R1	NRST的上拉电阻
R2	启动选择器电阻
U1	STM32WBxx
X1	高频晶振
X2	低频晶振

arm

a. Arm是Arm Limited（或其子公司）在美国和/或其他地区的注册商标。

图8. UFQFPN48参考板

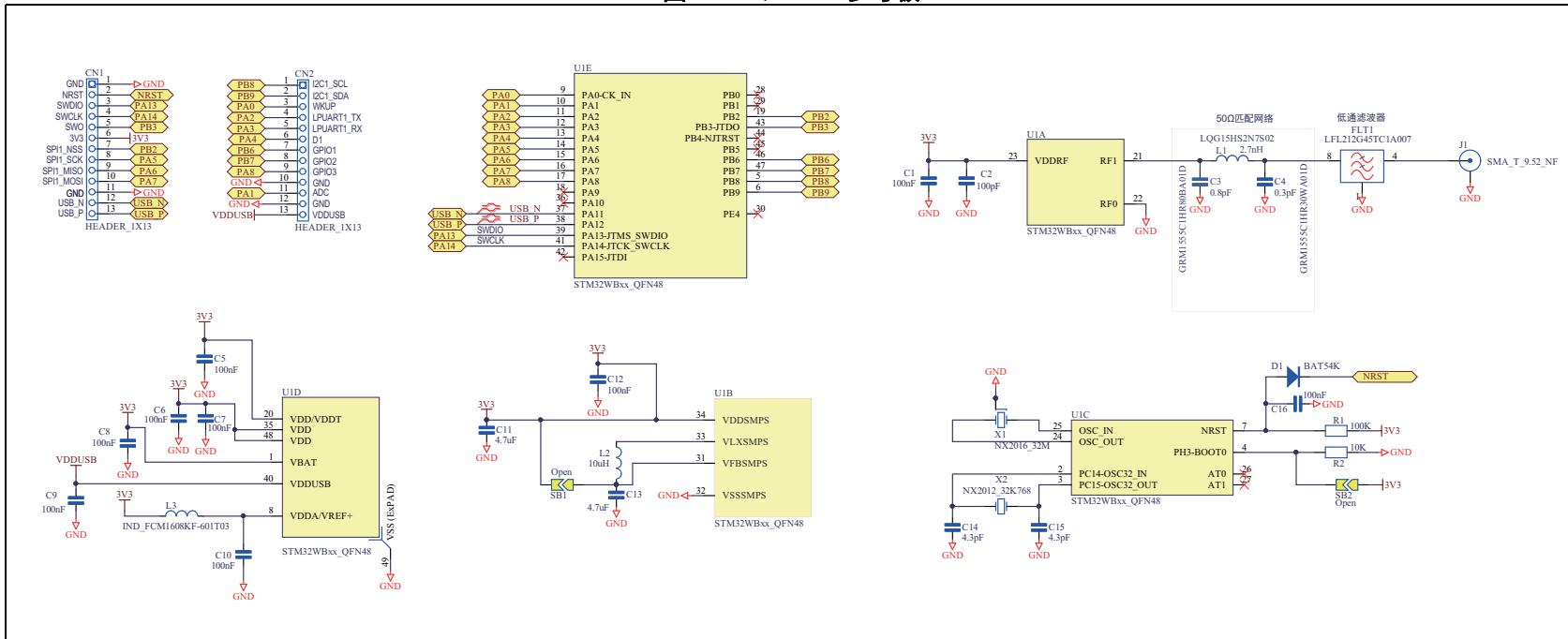
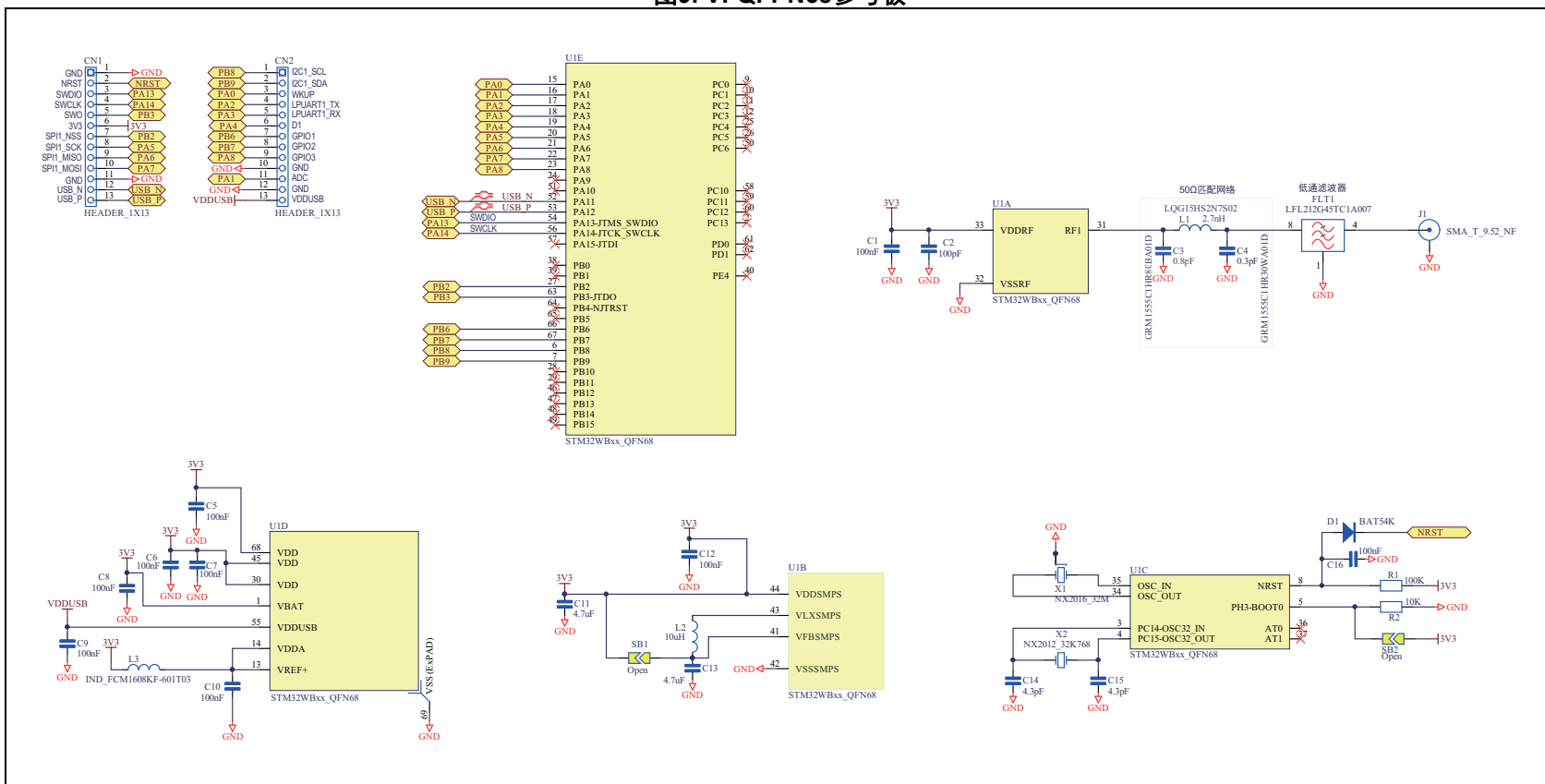


图9. VFQFPN68参考板



3 Nucleo板 (MB1355C) 原理图

图 10 到 14 中的原理图是指 VFQFPN68 封装的 Nucleo 板。

这是一个完整的应用板，可通过 SMA 或天线输出 RF 信号。以下章节中针对 4 层 PCB 描述的所有布局指南均基于此板。

图 11 表示 VFQFPN68 Nucleo 板的 RF 部件。RF 输出可连接到印刷天线（如果焊接 C35）或 SMA 连接器，如参考板（如果焊接 C38）。请注意，默认情况下未安装 SMA 连接器。

STM32WB 在其输出和天线之间需要一个低通滤波器，以确保其传输的谐波符合 BLE 和 FCC 规定。

该滤波器必须至少呈现以下衰减：

– ATT H2	4800 – 5825	最小-49 dB
– ATT H3	7200 – 7500	最小-45 dB
– ATT H4	9600 – 10000	最小-38 dB
– ATT H5	12000 - 12500	最小-37 dB

集成滤波器 FLT1 是带通滤波器，比用于参考板的低通滤波器更具选择性。得益于该滤波器，可在更受相邻通信频段干扰的环境中使用 Nucleo 板，不过其插入损耗（滤波器的输入和输出之间的衰减）要高于低通滤波器的插入损耗。

图10. 原理图 - GPIO和XTAL、MB1355C

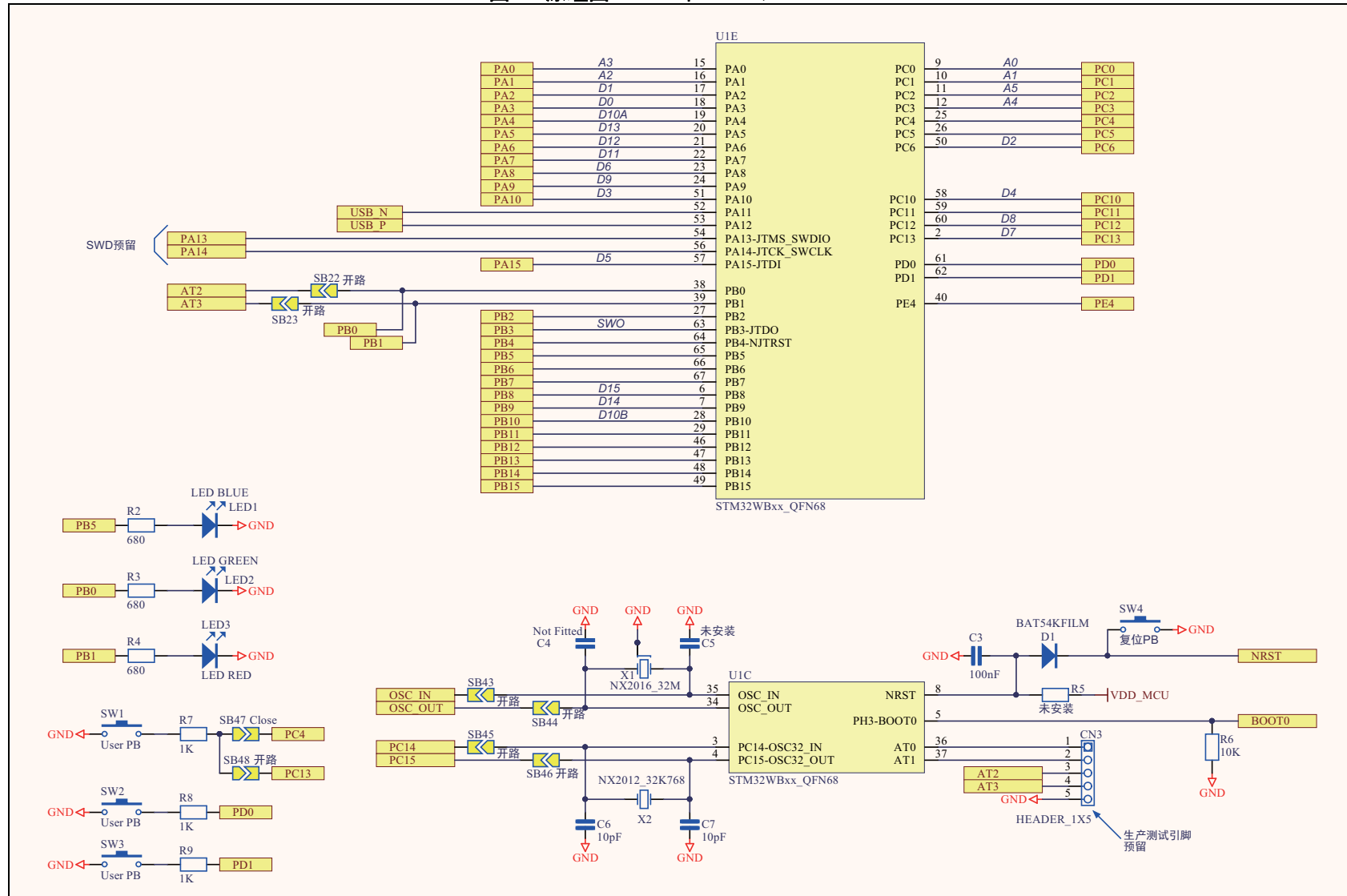


图11. 原理图 - RF部分、MB1355C

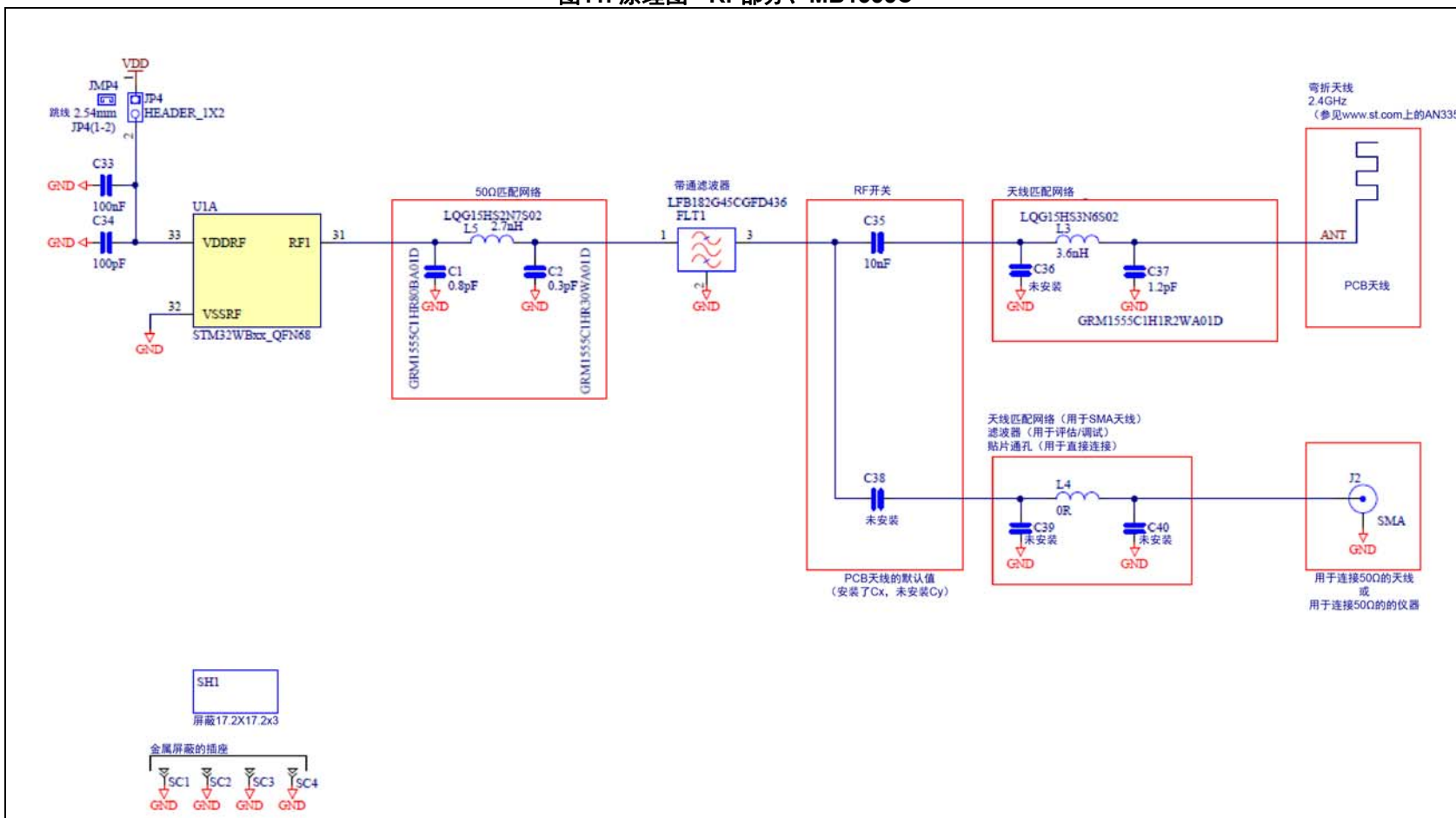


图12. 原理图 - 外部连接器、MB1355C

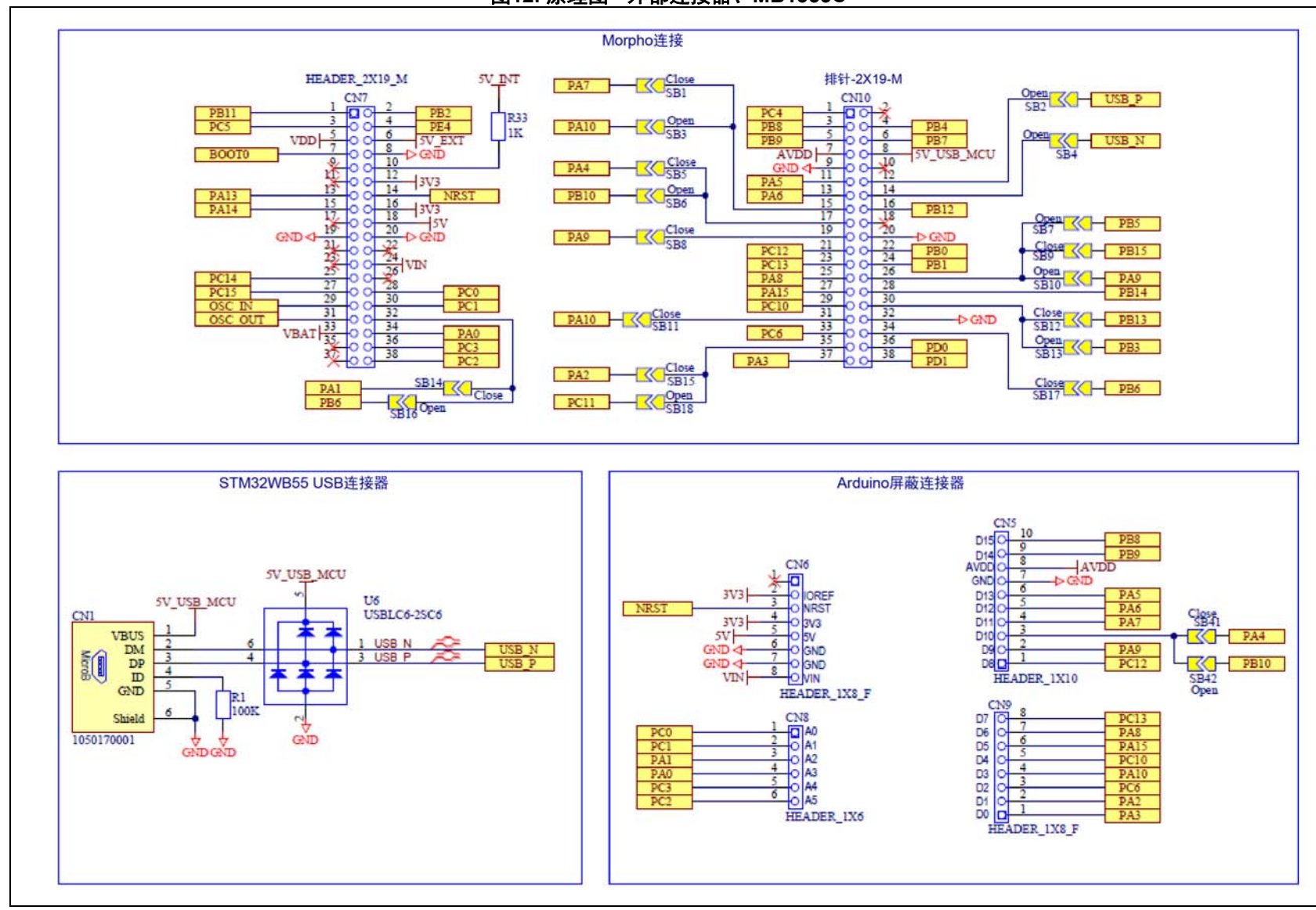


图13. 原理图 - 电源管理、MB1355C

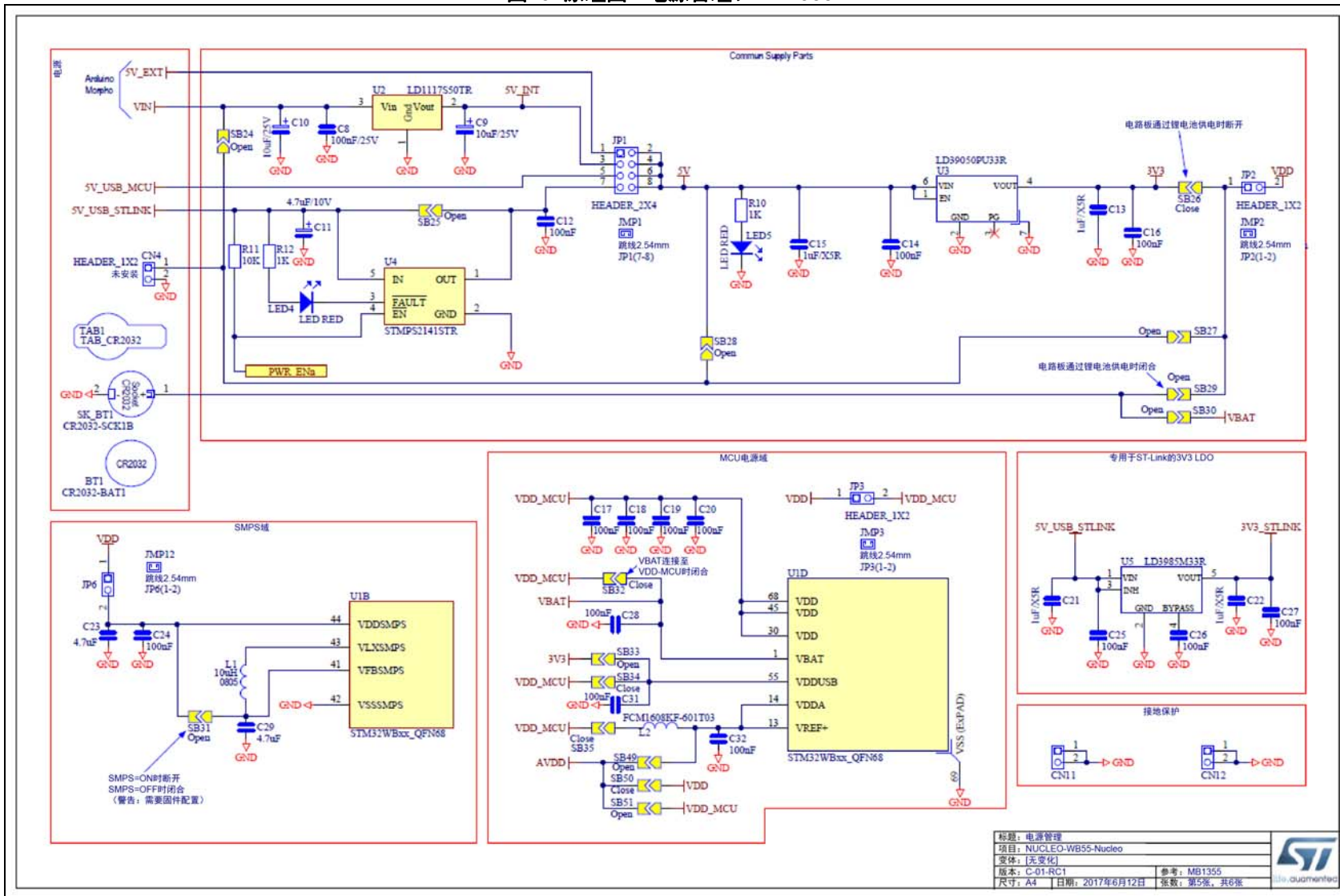
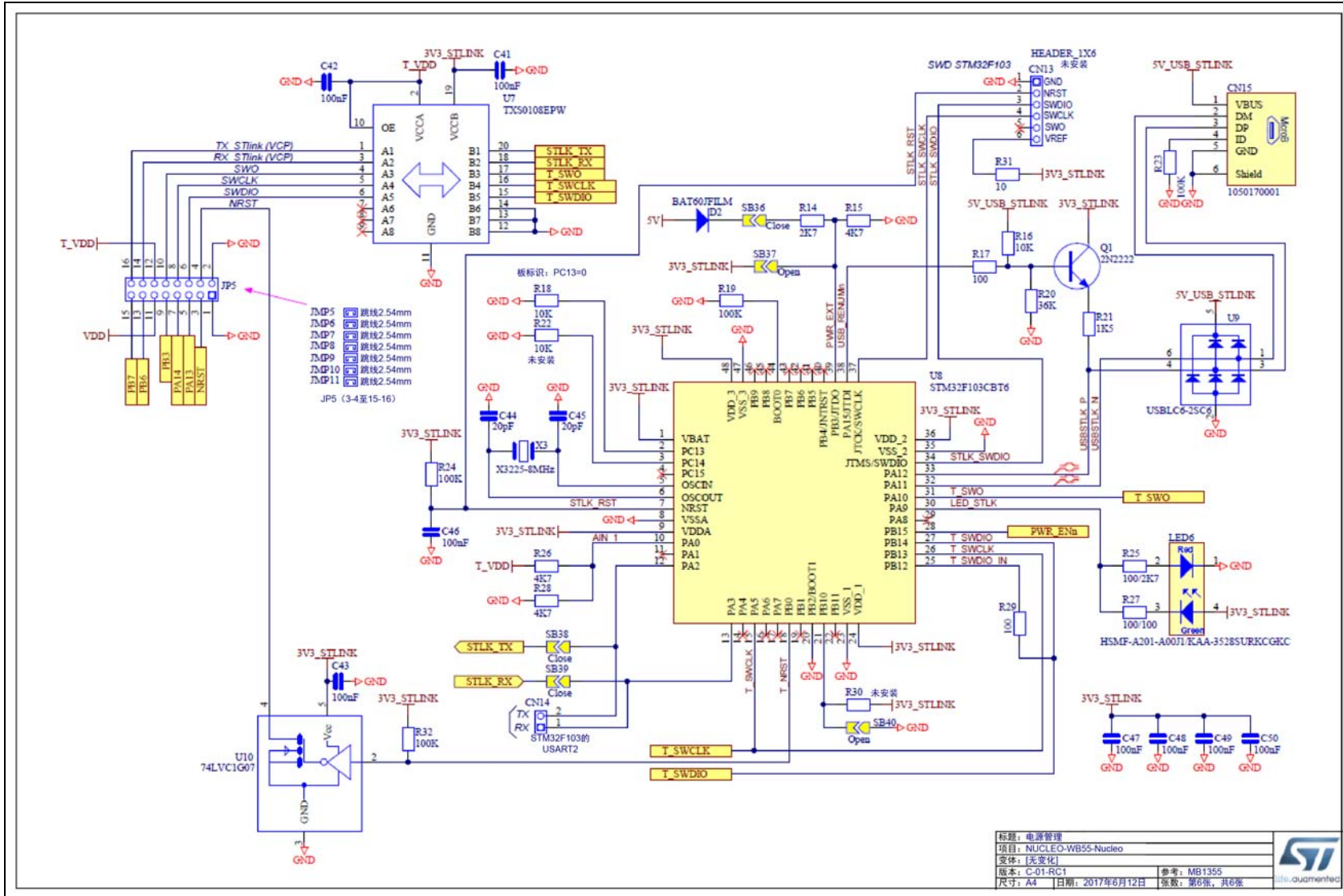


图14. 原理图 - ST LINK、MB1355C



4 元件选择

在低功耗蓝牙[®]带宽中，更普遍的是在高频中，外部组件的选择至关重要，因为这会直接影响应用性能。

4.1 电容

电容器是一种无源电子元件，用于将能量储存于电场中。它们采用不同的制造技术、材料（如双层、聚酯、聚丙烯）和尺寸。对于RF设计，建议在表面贴装版本上使用陶瓷电容。

电容的等效电路如图15所示。电阻 R_p 表示其泄漏电流，而 R_s 为等效串联电阻（ESR），表示电容的所有欧姆损耗。电感 L_s 为等效串联电感（ESL），其值为SRF（自谐振频率）的函数。从图16中可以看到，电容的阻抗在低频下为电容性阻抗，在SRF下为电阻性阻抗，在较高频率下为电感性阻抗。

图15. 电容器等效电路

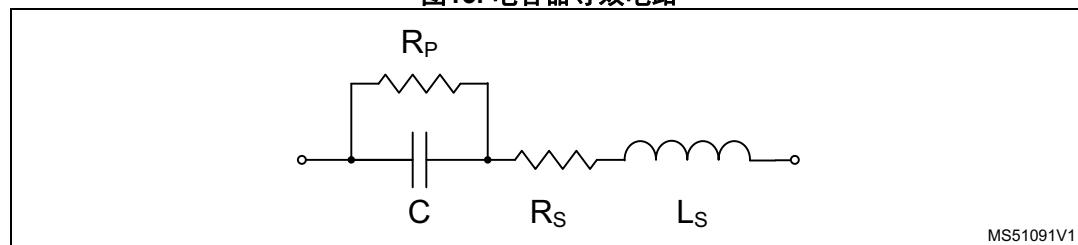
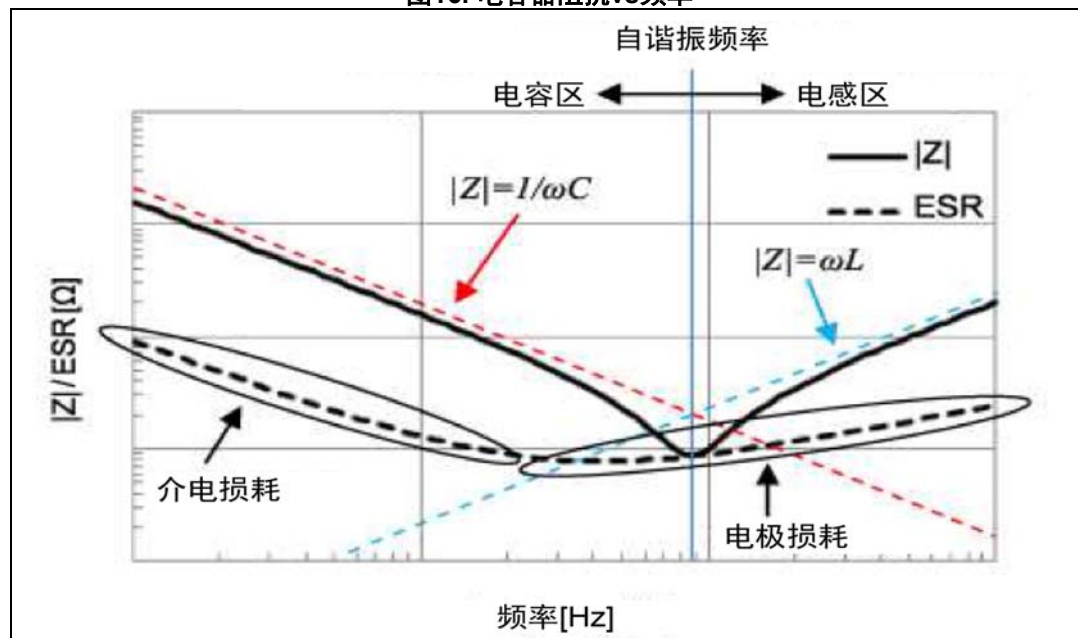


图16. 电容器阻抗vs频率



对于RF匹配，多层陶瓷电容具有线性温度系数、低损耗，并在不同时间、温度和频率下具有稳定的电气性能。SMD（表面贴装器件）用于0402封装，实现了性能与处理之间的良好折中。

对于RF去耦，必须选择电容值，使得要去耦的频率接近或略高于电容的自谐振频率。

对于DC-DC转换器，由于电容的品质因数与其ESR成反比，因此建议使用具有低插入损耗和良好品质因数的电容器。电容需要X7R或X5R电介质。

表2. 电容温度范围

最低温度		最高温度		温度范围内的变化	
代码	温度	代码	温度	代码	变化 (%)
X	-55 °C (-67 °F)	4	+65 °C (+149 °F)	P	±10
		5	+85 °C (+185 °F)	R	±15
Y	-30 °C (-22 °F)	6	+105 °C (+221 °F)	S	±22
		7	+125 °C (+257 °F)	T	+22 / -33
Z	+10 °C (+50 °F)	8	+150 °C (+302 °F)	U	+22 / -56
		9	+200 °C (+392 °F)	V	+22 / -82

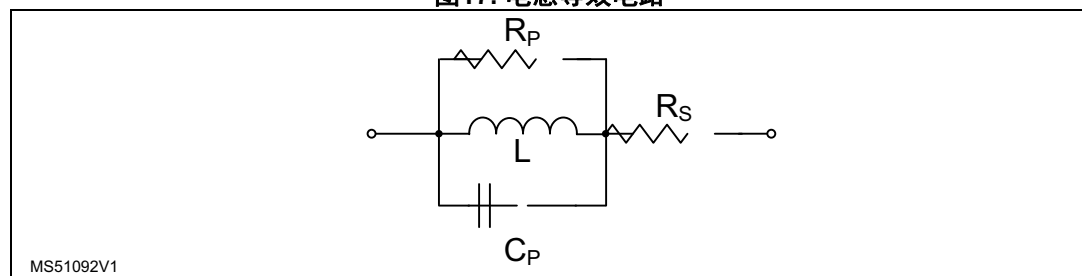
4.2 电感

电感器是一种无源电子元件，用于将能量储存于磁场中。由于制造技术和制造材料不同，电感器间各不相同。

对于RF设计，需要通过高Q（品质因数 = $\text{Im}[Z] / \text{Re}[Z]$ ）来降低插入损耗，通常建议使用空气芯电感器。这些电感器不使用由铁磁材料制成的磁芯，而是缠绕在塑料、陶瓷或其他非磁性材料上。SMD还与0402封装一起使用。

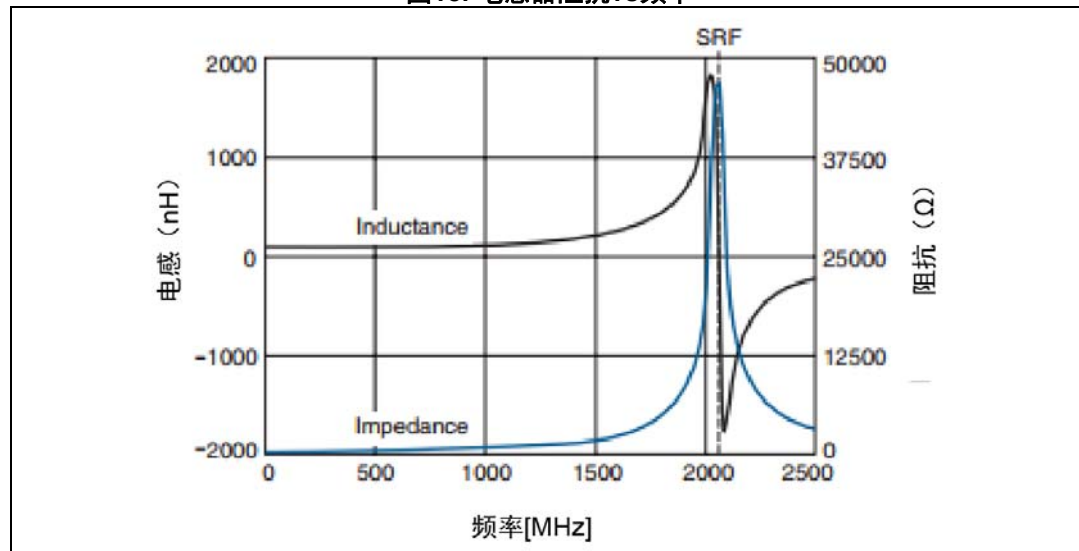
电感的等效电路如图17所示。电阻 R_s 表示绕组线和端子引起的损耗，其值随温度而增加。电阻 R_p 表示磁芯损耗，它随频率、温度和电流而变化。电容 C_p 与绕组有关。

图17. 电感等效电路



如图 18 所示，在SRF 处，阻抗和电感处于最大值。在较低/较高的频率下，阻抗和电感随频率增加/降低。

图18. 电感器阻抗vs频率



对于RF匹配和去耦，使用具有中等Q的电感可在应用成本和RF性能之间实现良好的折中。

对于DC/DC转换器，标称值为10 μ H。电感值影响峰间纹波电流、输出电压波纹和效率。所选电感必须根据其直流电阻和饱和电流来确定额定值。

务必使用原理图中所示的组件，以便在参考板的给定PCB布局中实现最佳RF性能。

4.3 SMPS

STM32WBxx微控制器嵌入了开关模式电源（SMPS），可在 V_{DD} 足够高时提高电源效率。

为了不影响RF性能，该SMPS的开关频率与RF主时钟源HSE同步。SMPS的允许频率为4或8 MHz。请注意，在低功耗模式的RF启动阶段，将使用HSI来代替HSE，以实现相比在启动SMPS和数字逻辑之前从HSE稳定开始等待更快的唤醒速度。

已向该降压SMPS添加了两个特定功能，这些功能与STM32WB微控制器支持的所有低功耗模式有关：

为正常操作，SMPS需要一个电感和两个电容，其值取决于目标性能，以及机械设计中允许的PCB面积和总高度。

为实现最佳功耗性能，应选择4 MHz，以产生与4.7 μ F大电容相关的10 μ H电感。对于较小的尺寸，尤其是在使用非常小的电感时，可选择8 MHz，从而可以使用与4.7 μ F大电容相关的2.2 μ H电感。

必须使用另一个4.7 μ F电容来对V_{DDSMPS}电源进行去耦。所有这些外部组件必须具有尽可能低的ESR值。请注意，V_{DDSMPS}必须连接到V_{DD}，电压上升和下降必须满足STM32WB数据手册中所述的条件。

4.4 外部晶振

STM32WB微控制器提供两个带外部晶振的振荡器。

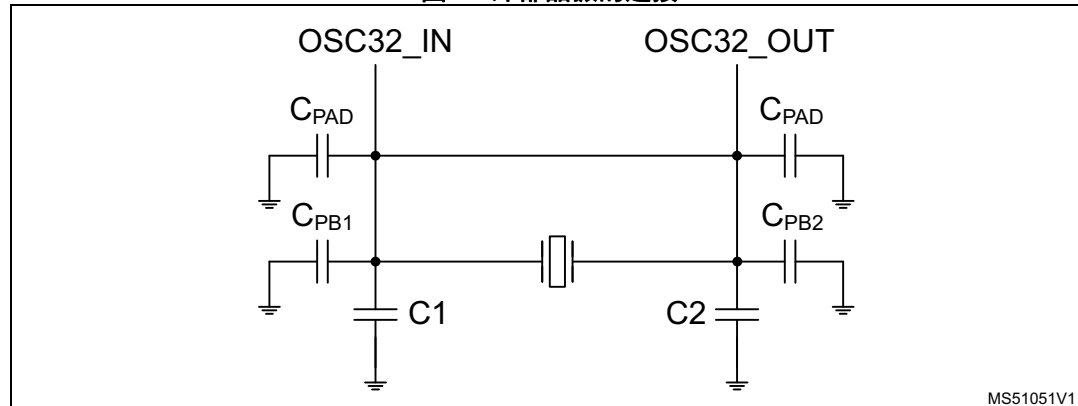
RF子系统使用频率为32 MHz的HSE（高速外部）。晶体X1必须尽可能靠近振荡器引脚OSC_IN和OSC_OUT，以最大限度减轻输出失真和缩短启动稳定时间。负载电容集成在芯片上，可通过内部寄存器并根据所选晶振进行调整。默认情况下，板上使用的NDK公司的NX2016的负载电容为8 pF。

RTC子系统使用频率为32.768 kHz的LSE（低速外部）。必须对C₁和C₂值进行调整，以满足对所选晶振的推荐负载电容C₀的要求。低C₀值可实现低功耗和快速启动时间。相反，较高的C₀可带来更出色的频率稳定性。

根据图19，晶振的总负载电容C₀为C₀ = [(C₁ + C_{PA}D + C_{PB1}) * (C₂ + C_{PA}D + C_{PB2})] / (C₁ + C_{PA}D + C_{PB1} + C₂ + C_{PA}D + C_{PB2})，其中：

- C_{PA}D考虑了STM32WB焊盘、SMD元件C₁和C₂以及晶体本身的寄生电容。
- C_{PB1}和C_{PB2}代表PCB布线寄生电容。必须通过将X2、C₁和C₂布置在芯片附近来最大限度地降低这些寄生电容，从而提高噪声抑制的稳健性。
- C₁和C₂必须通过独立通孔接地。

图19. 外部晶振的连接



5 PCB层叠和技术

必须仔细设计RF频率下的PCB走线，因为其长度为信号波长的一部分。此外，RF频率下的PCB走线的阻抗取决于走线厚度、走线高出接地层的高度以及PCB介电材料的介电常数和损耗角正切。另一个重要参数为本段所述的PCB层叠。

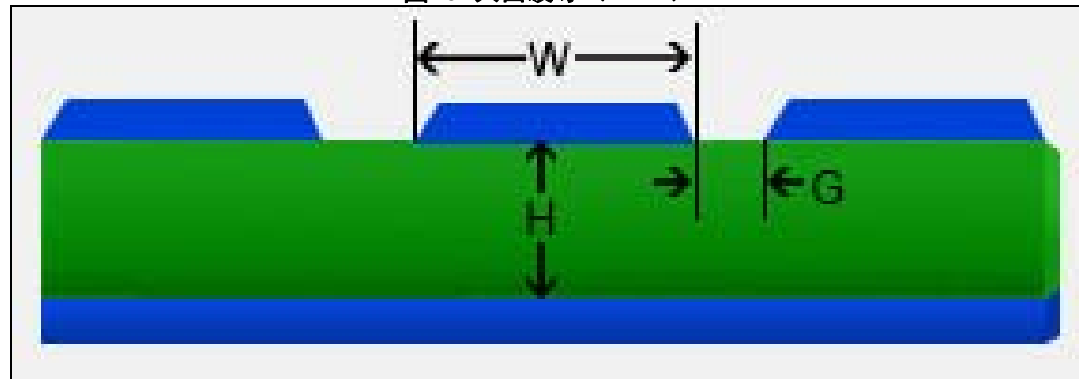
为获得最佳性能，RF板通常采用至少两层或四层的设计。

5.1 射频传输线

PCB上的传输线可在外部层（微带线和共面波导），或者埋入内部层（带状线）实现。

共面波导（CPW）传输线由两个接地层之间（通过间隙G将它们隔开）的宽度为W的中心信号线组成（参见图 20）。中心线和接地层位于厚度为H的介电基板的表面上。

图20. 共面波导（CPW）



存在名为GCPW或CPWG的CPW版本，它具有与电介质相对的接地层。

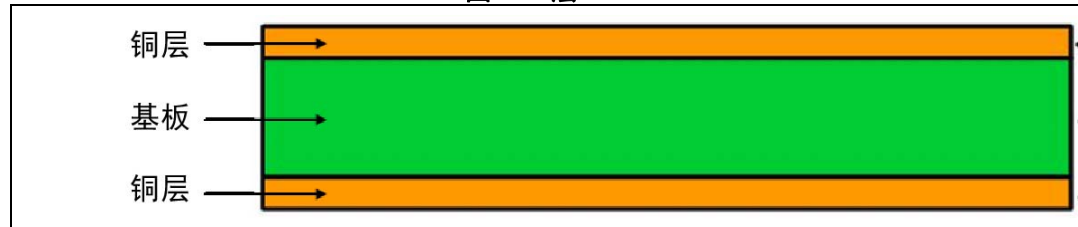
5.2 PCB基板选择

有不同类型的PCB基板，尽管采用相同的基本材料（玻璃）制造，但其中一些基板具有更适合RF产品的受控参数。RF设计中使用的PCB基板是FR-4（阻燃4）基板。已知这种材料在干燥和潮湿条件下可保持其高机械值和电绝缘品质，但这以损失不同频率和损耗下的介电常数稳定性为代价。

5.3 2层PCB

对于2层PCB（参见图 21），顶层用于RF信号和布线，而底层用于在RF区域下接地，以及其它部件的走线。RF区域下的接地层必须连续，否则回路电流可能增加，并会降低RF性能。

图21. 2层PCB



2层PCB提供了更便宜的解决方案，可实现相当于4层PCB的性能，但需要仔细的信号走线和元件放置。

UFQFPN48和VFQFPN68的参考板的2层PCB的定义如图 22中所示。

图22. 2层PCB - 用于UFQFPN48和VFQFPN68的参考板

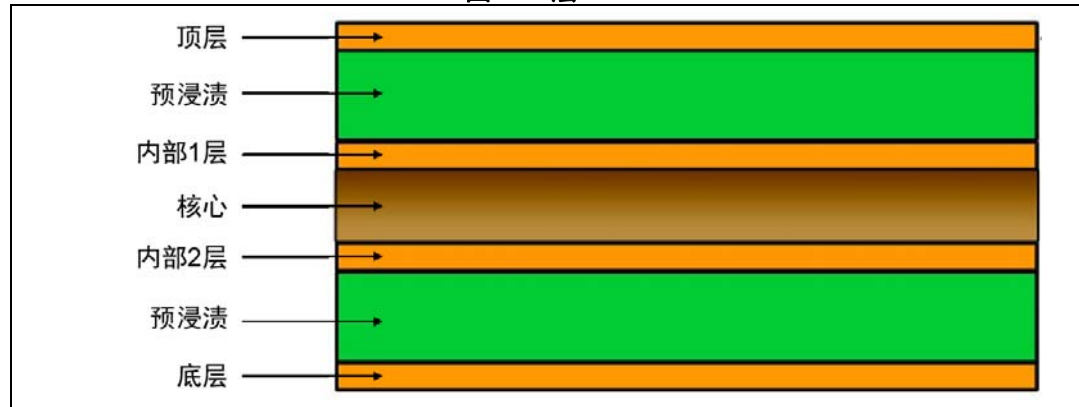


5.4 4层PCB

对于图23中所示的4层PCB，建议采用以下布置：

- 顶层：顶层的RF信号和布线。
- 内部1层：RF区域下接地，以及其它部件的走线。
- 内部2层：供电和低频走线。
- 底层：低频走线。

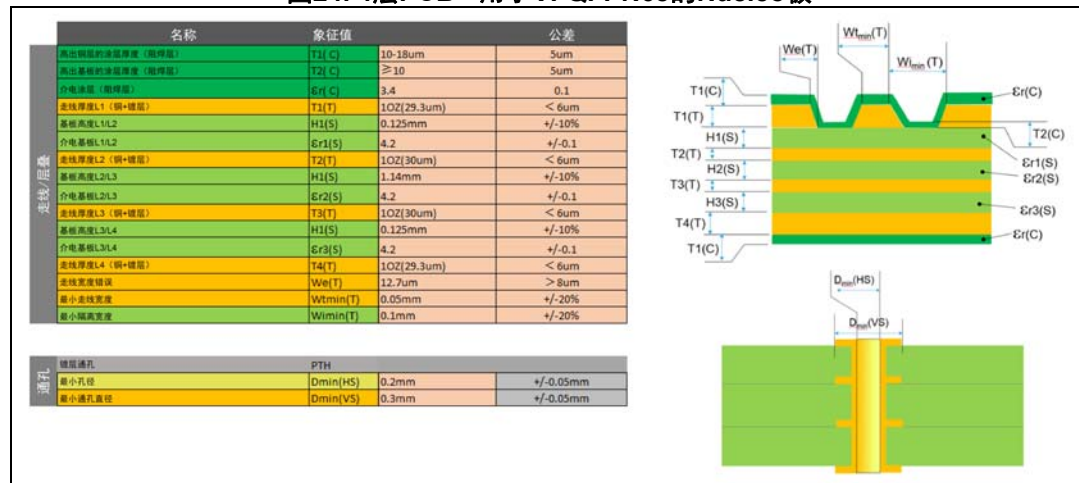
图23. 4层PCB



4层PCB解决方案更加复杂和昂贵。在此情况下，必须使用填充激光孔和埋藏式孔将走线连至内部焊球。

图图24中显示了用于VFQFPN68的Nucleo板的4层PCB定义。

图24. 4层PCB - 用于VFQFPN68的Nucleo板



6 2层PCB的布局建议

图25. UFQFPN48的PCB布局（从左到右：全部、顶层和底层）

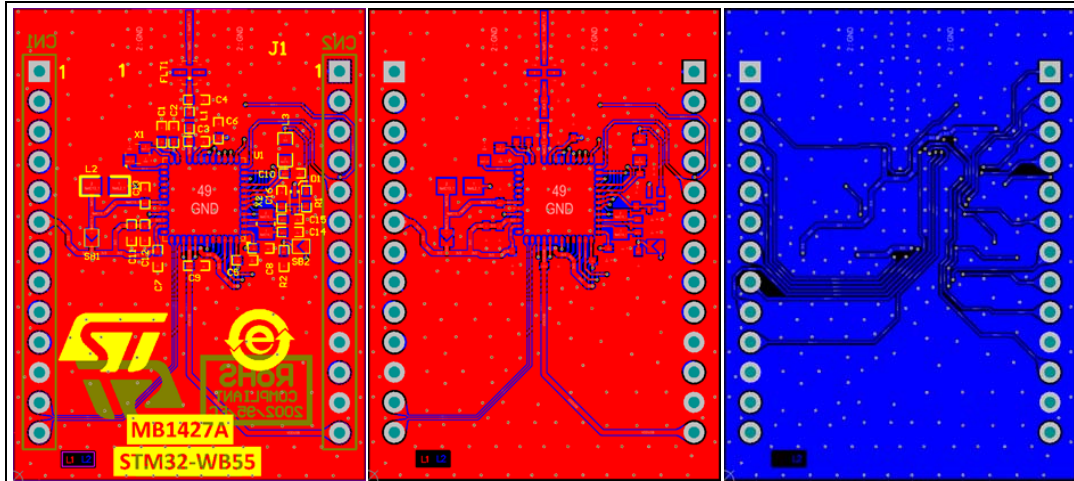
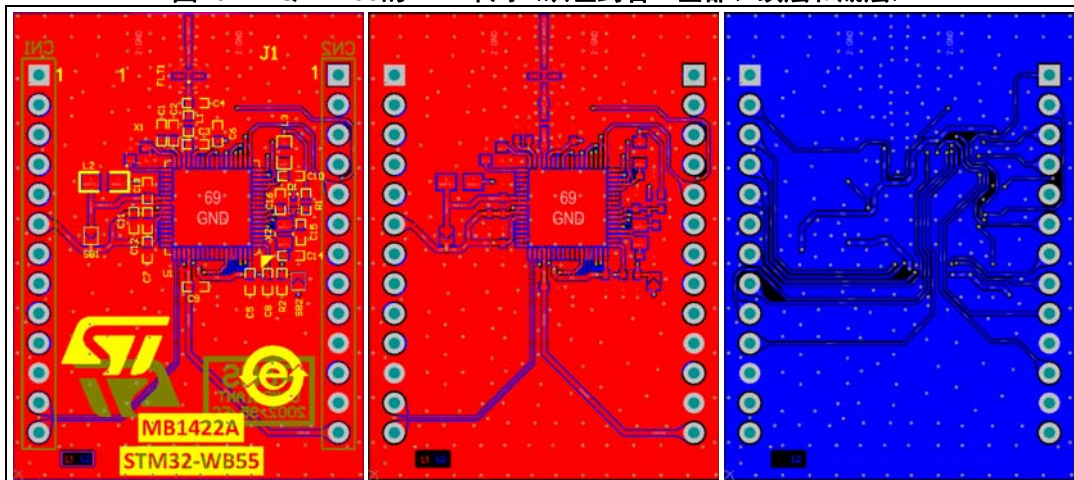


图26. VFQFPN68的PCB布局（从左到右：全部、顶层和底层）



6.1 关键部件

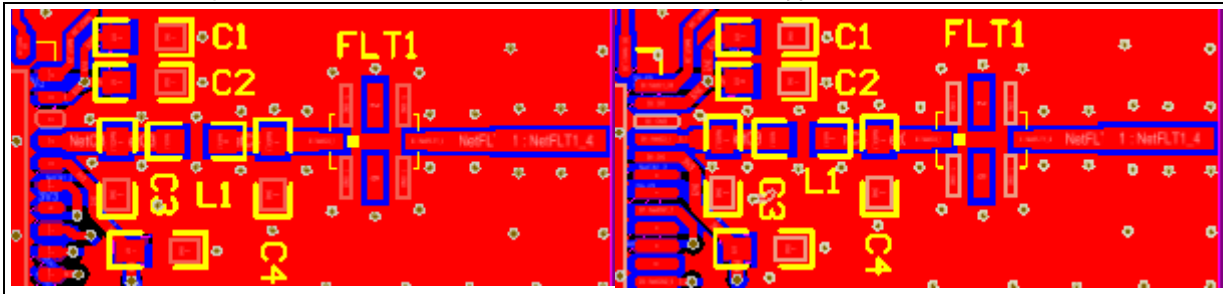
布局中的三个关键部件为RF、SMPS和LSE。

6.1.1 RF

为获得最佳RF性能（尤其是最大传输功率、最佳接收灵敏度以及足够的杂散和谐波抑制），在RF1输出引脚和RF低通滤波器之间需要一个匹配网络。

该网络由分立LC PI滤波器以及集成低通滤波器组成。C3和L1的作用为将STM32WB的RF引脚阻抗调整为 $50\ \Omega$ ，这是SMA所必须的阻抗。C4和集成低通滤波器FLT1用于抑制谐波频率。C3、C4和L1的值取决于[第2节：参考板原理图](#)中详述的参考板PCB定义。

图27. RF的PCB布局细节（左侧为UFQFPN48、右侧为VFQFPN68）



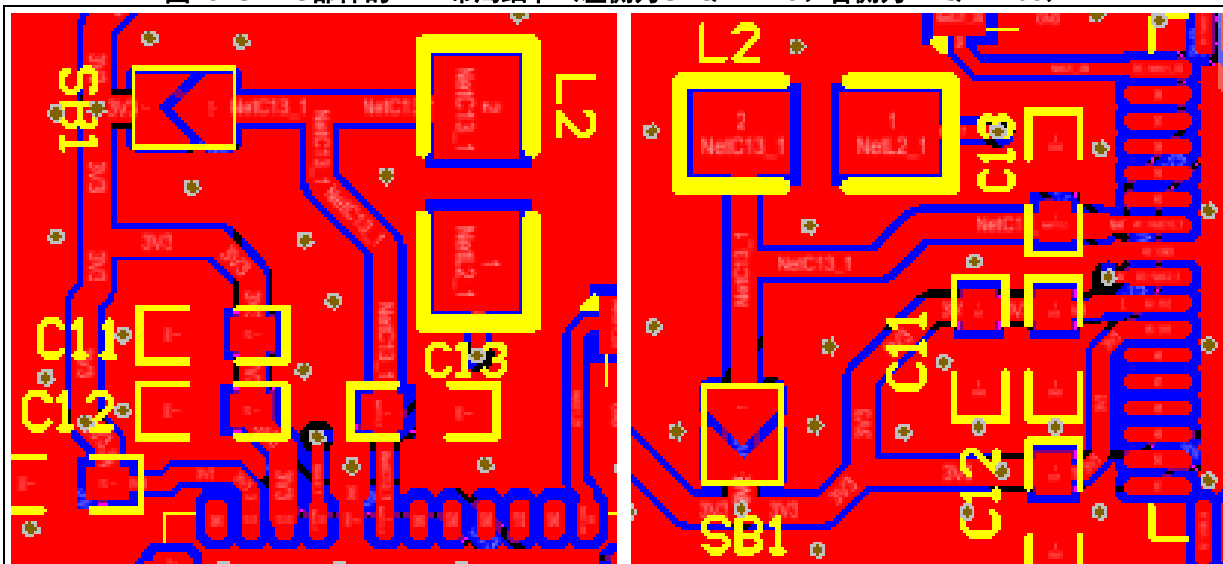
使用的低通滤波器FLT1具有用于区分方向的标记。遵循PCB上所指示的方向（滤波器的结构不完全对称，属性随安装方向而变化）。

还建议将匹配网络布置在尽可能靠近RF输出的地方，以避免在匹配网络的每个组件之间构成长走线。低通滤波器FLT1的输出和SMA连接器之间的走线长度可变，如果阻抗始终为50 Ω ，则走线长度取决于应用。

6.1.2 SMPS

除了[第 4.3节: SMPS](#)中给出的建议以外，为避免当STM32WB处于SMPS模式时出现严重的电流环，建议将C11、C12和C13布置在尽可能靠近STM32WB上的相应引脚的位置。请勿忘记将焊盘接地，以获得强大的电流回流路径。

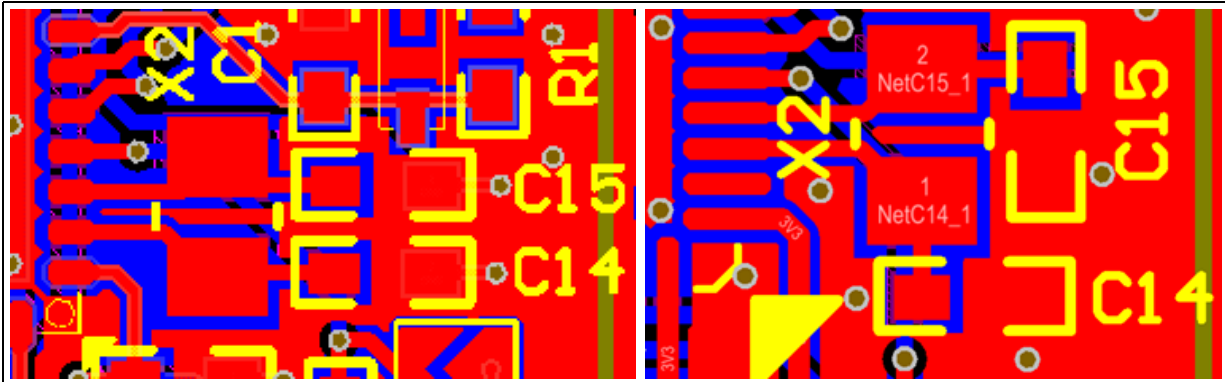
图28. SMPS部件的PCB布局细节（左侧为UFQFPN48、右侧为VFQFPN68）



6.1.3 LSE

如[第 4.4 节：外部晶振](#)中所示，将X2、C14和C15布置在尽可能靠近STM32WB上的相应引脚的位置。

图29. LSE的PCB布局细节（左侧为UFQFPN48、右侧为VFQFPN68）



7 4层PCB Nucleo板MB1355C

图30. VFQFPN68板

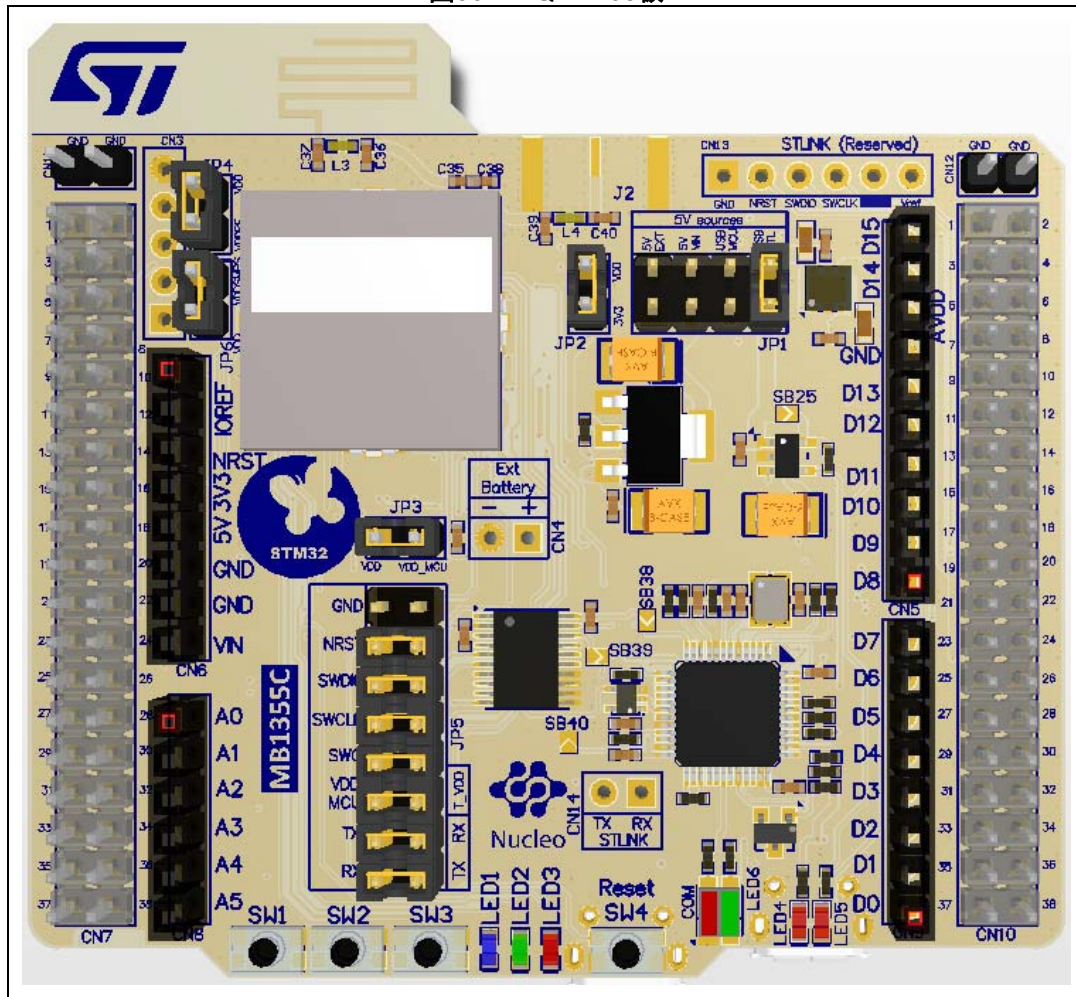


图31. VFQFPN68板 - PCB布局 - 所有层

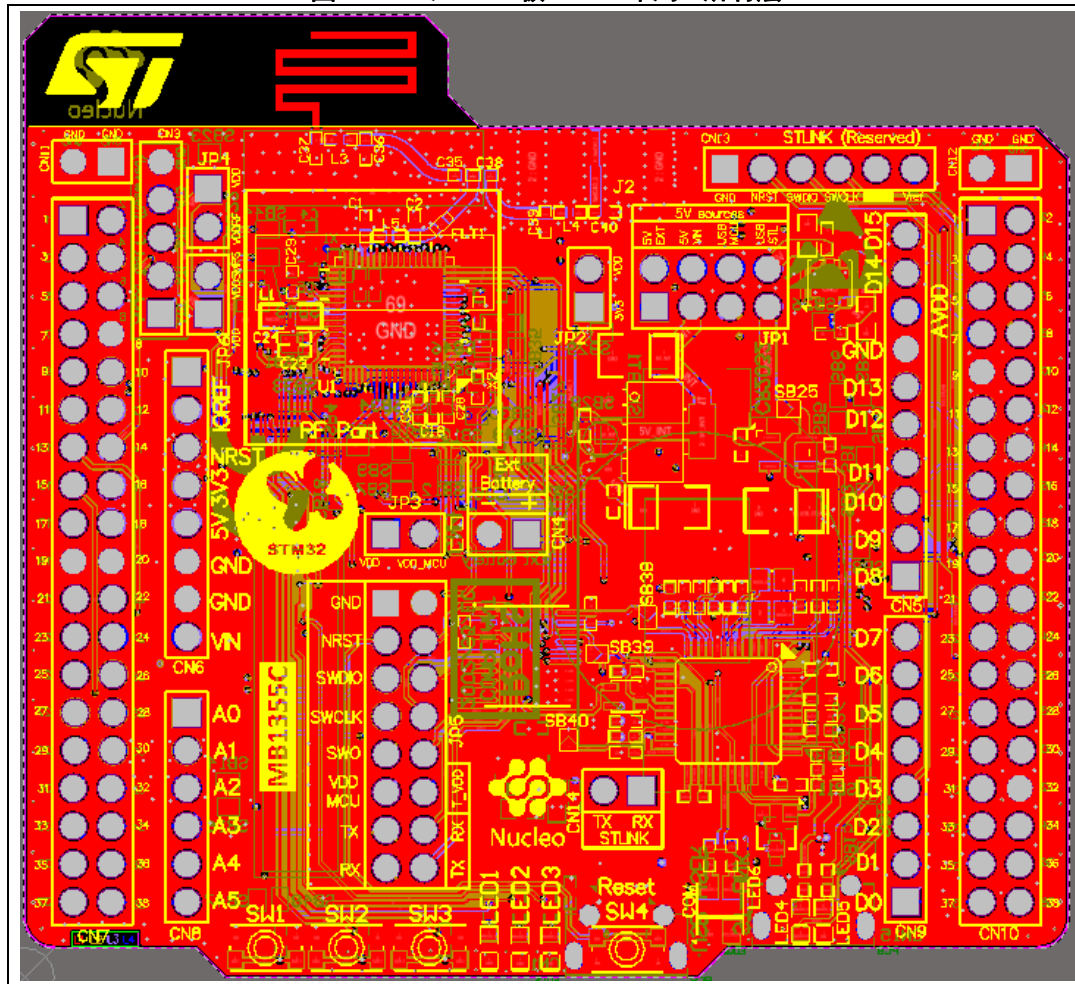


图32. VFQFPN68板 - PCB布局 - 顶层

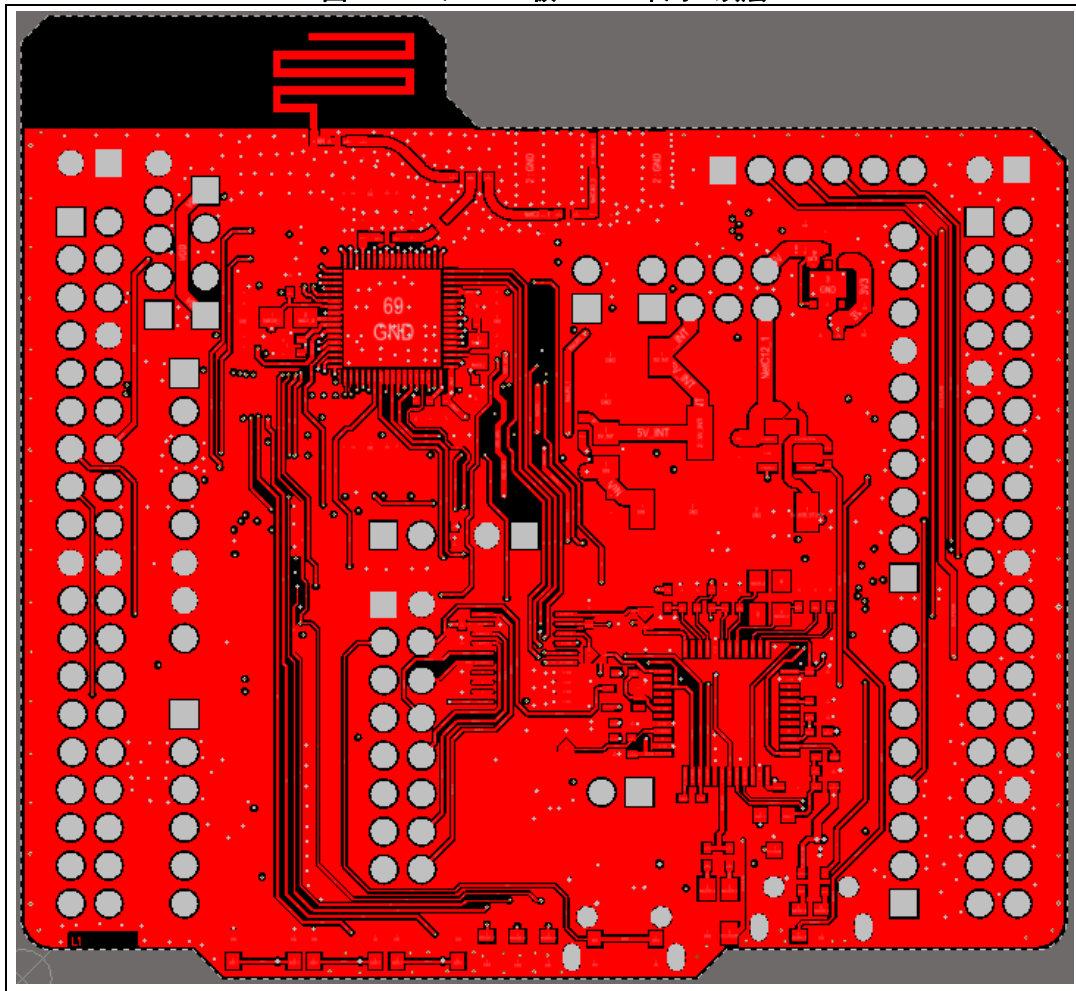


图33. VFQFPN68板 - PCB布局 - 内层1

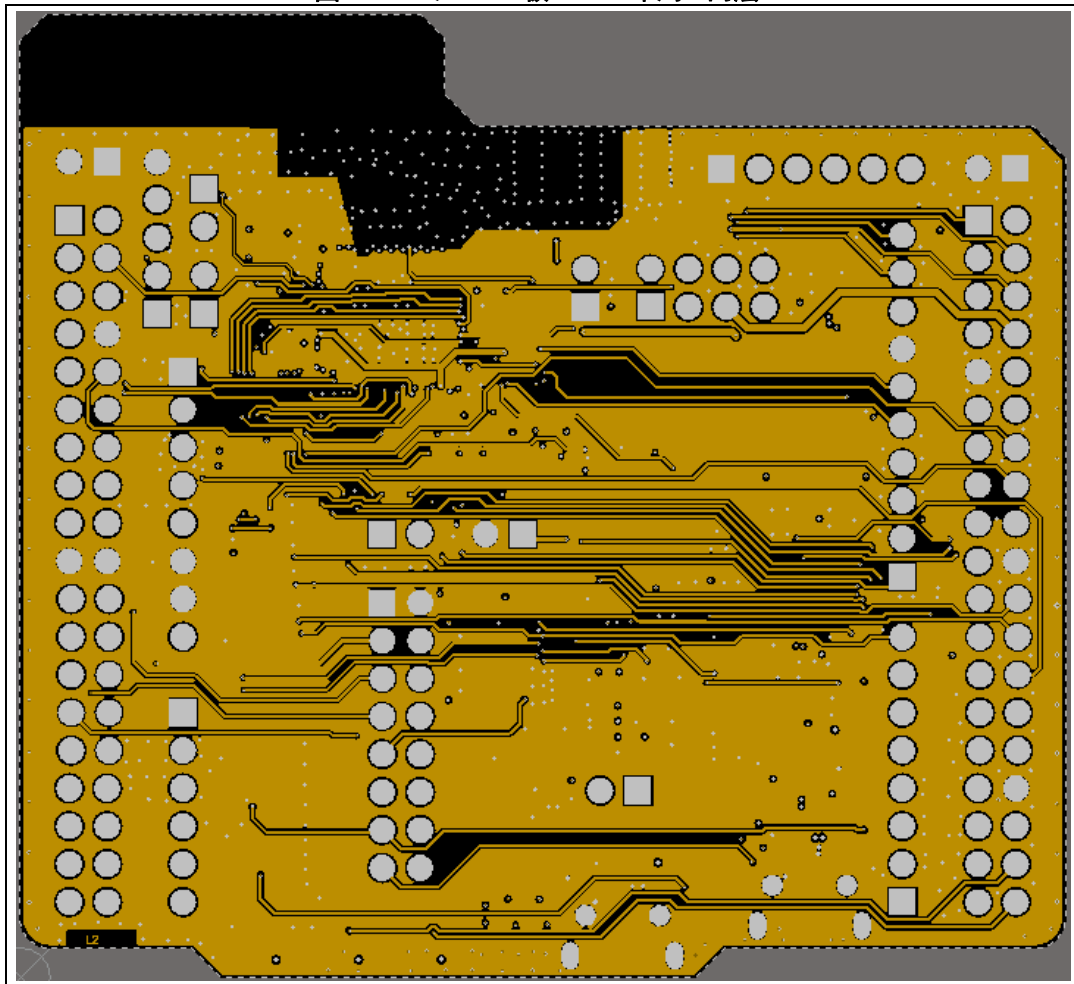


图34. VFQFPN68板 - PCB布局 - 内层2

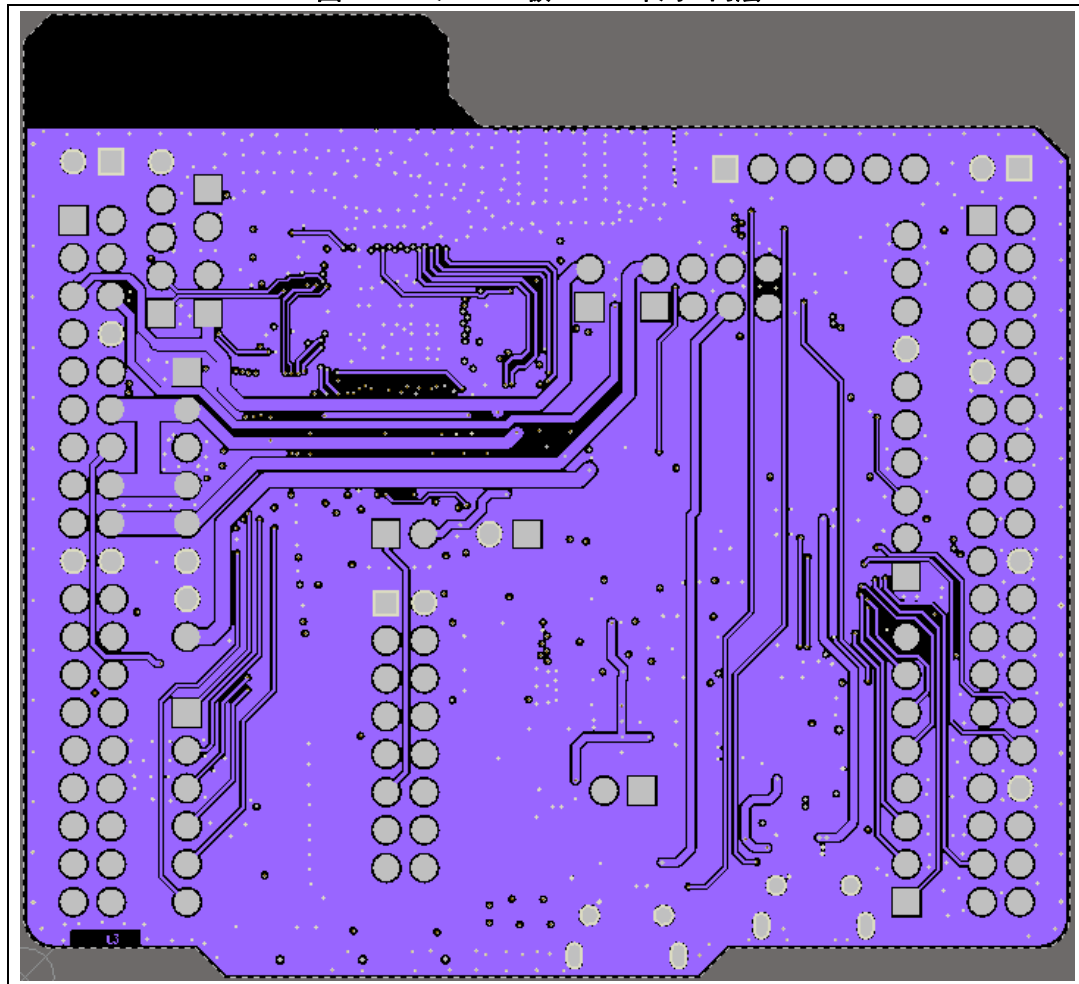
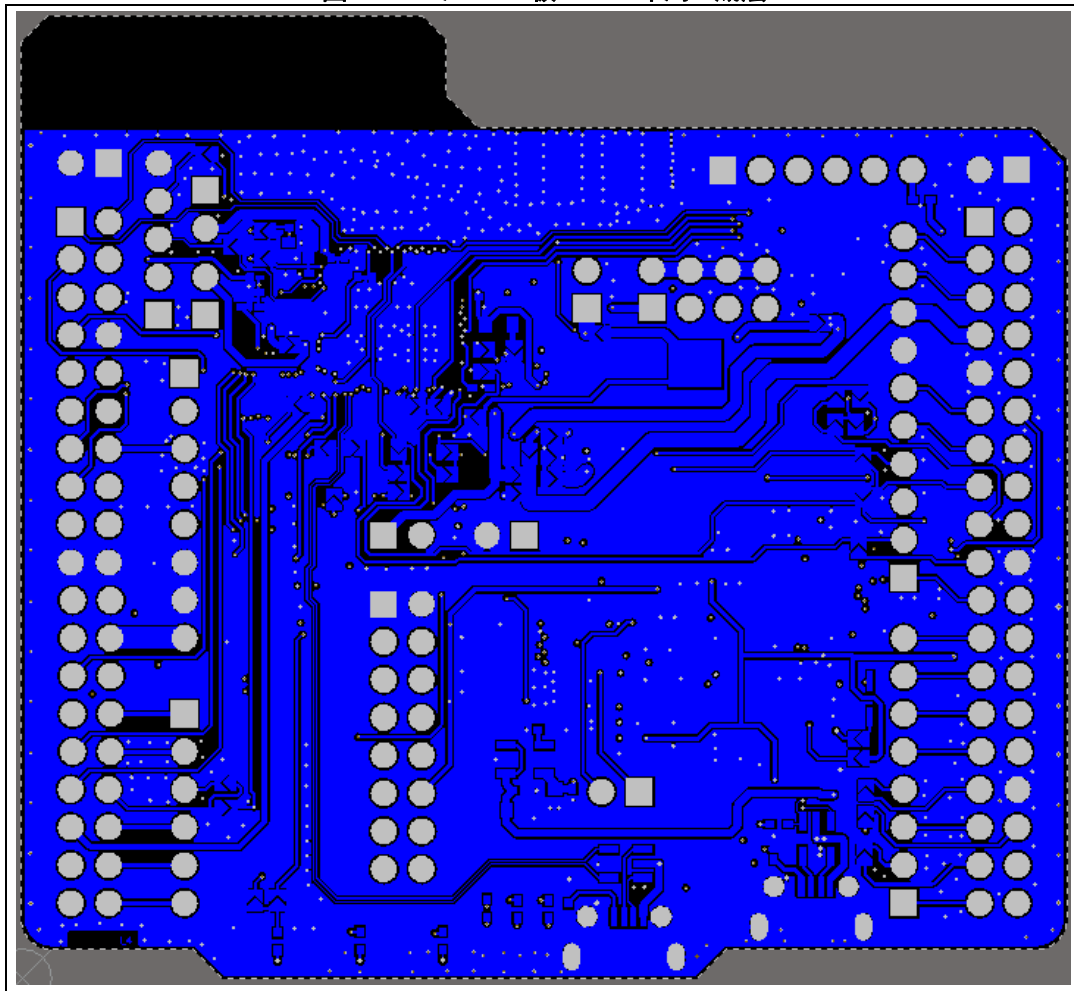


图35. VFQFPN68板 - PCB布局 - 底层



7.1 关键部件

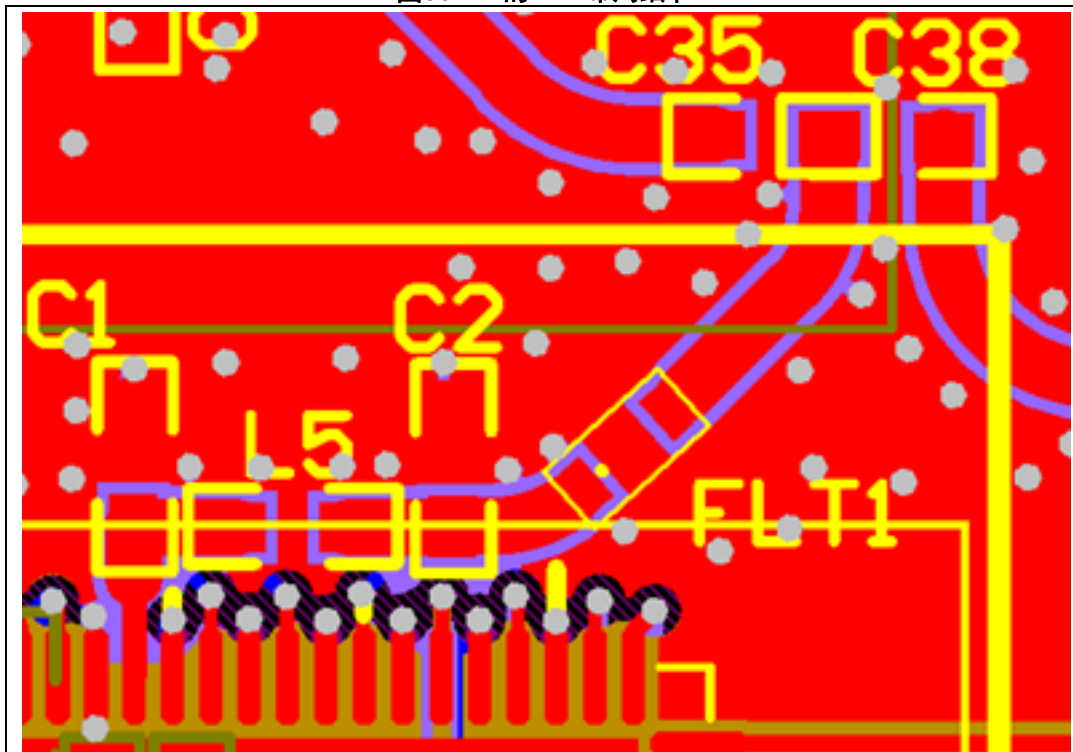
至于参考板，布局中的关键部件为RF、SMPS和LSE，以及该电路板上可用的PCB天线。

在该电路板上，FLT1滤波器已被更换为带通滤波器，以改善蜂窝设备的阻塞性能。但是，此滤波器会使2.4 GHz的有用BLE信号衰减的更严重，并导致1.5到2 dB的TX最大输出电平和灵敏度降低。

7.1.1 RF

匹配网络由C1和L5组成。C2和集成带通滤波器FLT1用于抑制杂散和谐波频率。C1、C2和L5的值取决于[第 5.4 节：4层PCB](#)中详述的PCB定义。

图36. RF的PCB布局细节

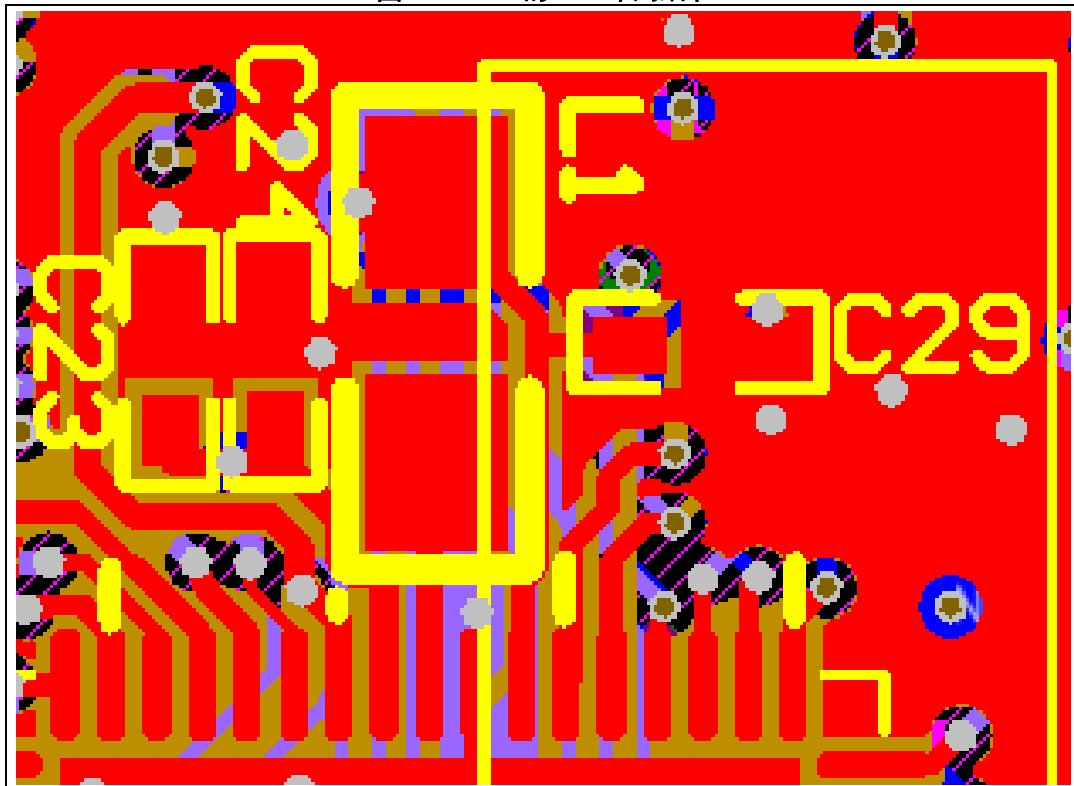


建议将匹配网络布置在尽可能靠近RF输出的地方，以避免在匹配网络的每个组件之间构成长走线。需要合理布置FLT1的方向，以将所有元件包含在屏蔽盒内。

7.1.2 SMPS

将C23、C24和C29布置在尽可能靠近STM32WB上的相应引脚的位置。请勿忘记将焊盘接地，以获得强大的电流回流路径。

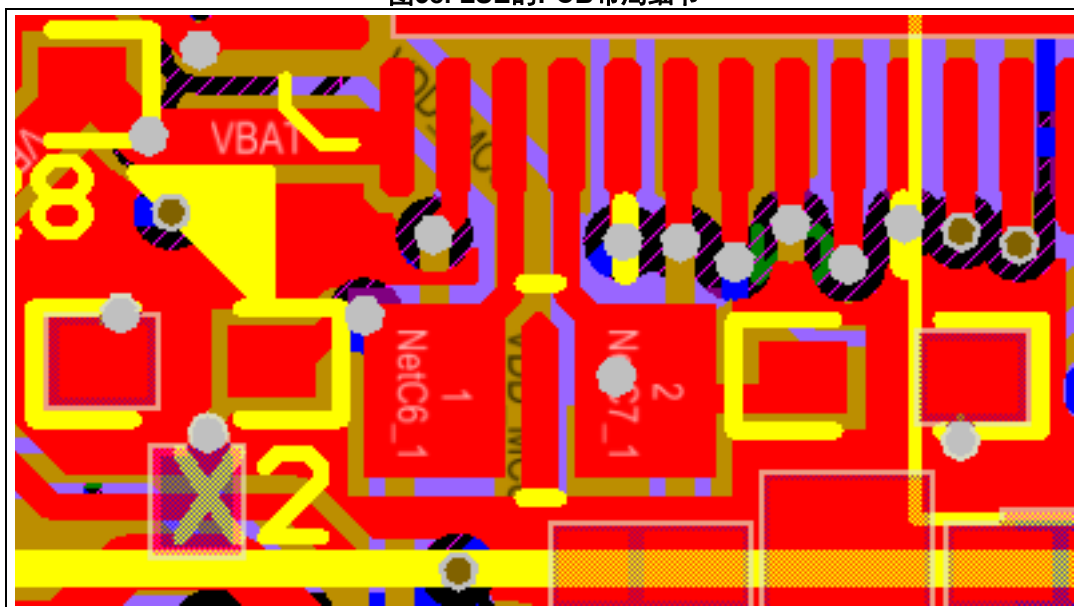
图37. SMPS的PCB布局细节



7.1.3 LSE

将X2、C14和C15布置在尽可能靠近STM32WB上的相应引脚的位置，并沿芯片布置，以将其包含在屏蔽盒中。

图38. LSE的PCB布局细节



7.1.4 天线

通过将阻抗电路与由L3、C36和C37组成的PI网络相匹配，可将PCB天线的阻抗调整为所需的50 Ω（参见图 39）。有关此天线的更多详细信息，请参见www.st.com上提供的应用笔记AN5129。

图39. 天线的PCB布局细节

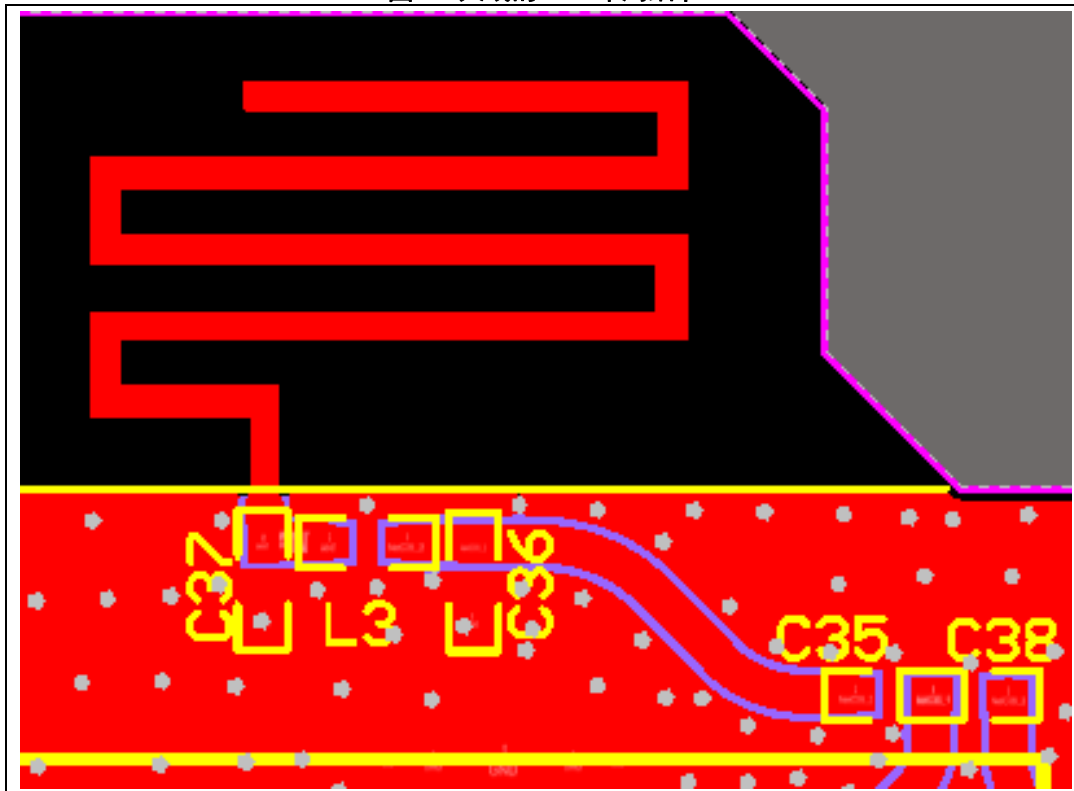
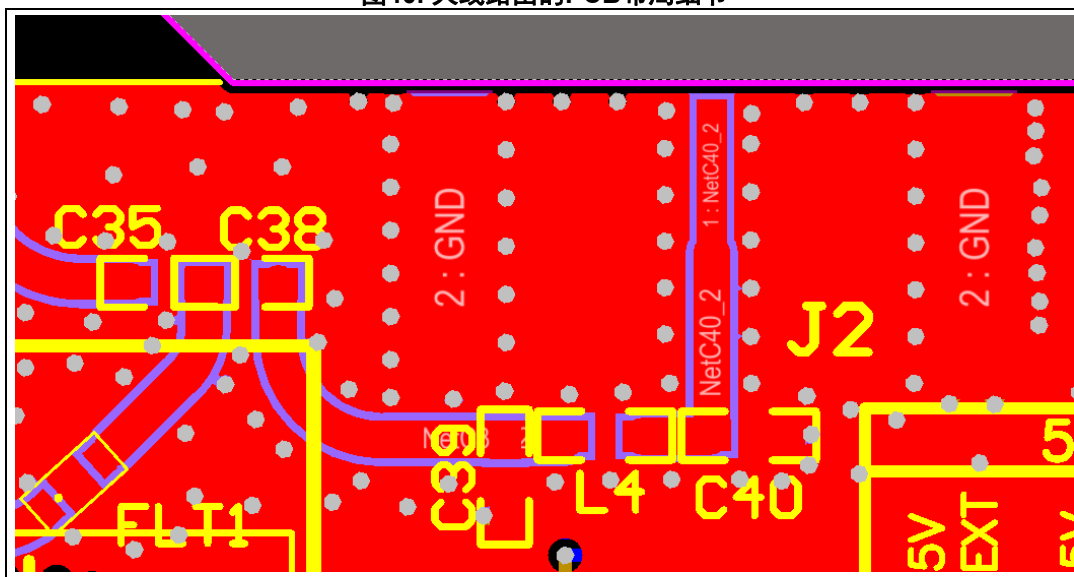


图40. 天线路由的PCB布局细节



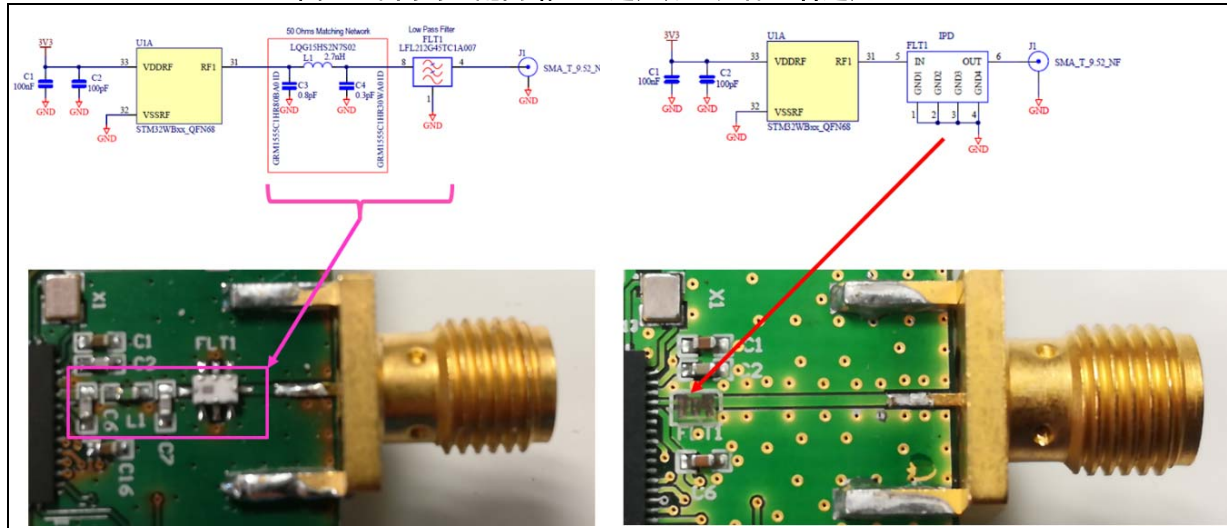
在屏蔽盒外部有两个电容C35和C38（[图 40](#)）。如果输出路由到PCB天线，则焊接C35。如果输出路由到SMA，则焊接C38。

如果外部天线连接到SMA (J2)，则由L4、C39和C40组成的另一个PI网络可用于匹配阻抗。

8 带IPD的UFQFN48/VFQFN68参考板

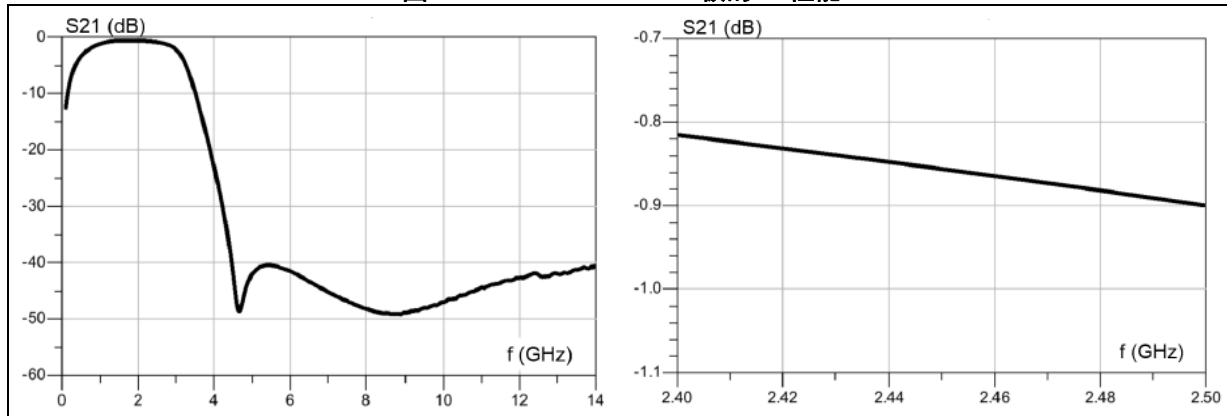
IPD（集成无源器件）的目标为取代分立匹配网络以及集成低通滤波器，并保持相当的TX/RX性能。图41显示了两种方法之间的差异。

图41. 不同的匹配网络（左边是分立元件、右边是IPD）



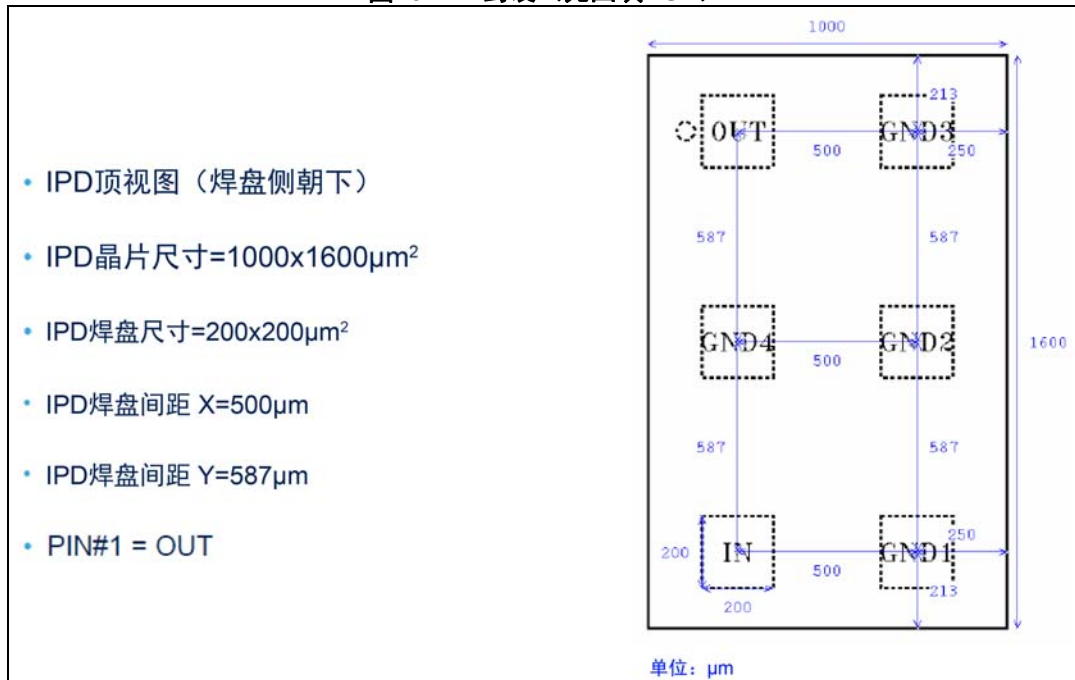
根据QFN封装的所需规格（尤其是参考平面中的STM32WB所呈现的阻抗）和参考板的2层PCB特性，开发出了MLPF-WB55-01E3板（DS12804，“与STM32WB55Cx/Rx相匹配的2.4GHz低通滤波器”，可通过www.st.com获得相关信息）。图42的左侧和右侧分别显示了其传输和插入损耗性能（均以dB表示）。

图42. MLPF-WB55-01E3板的RF性能



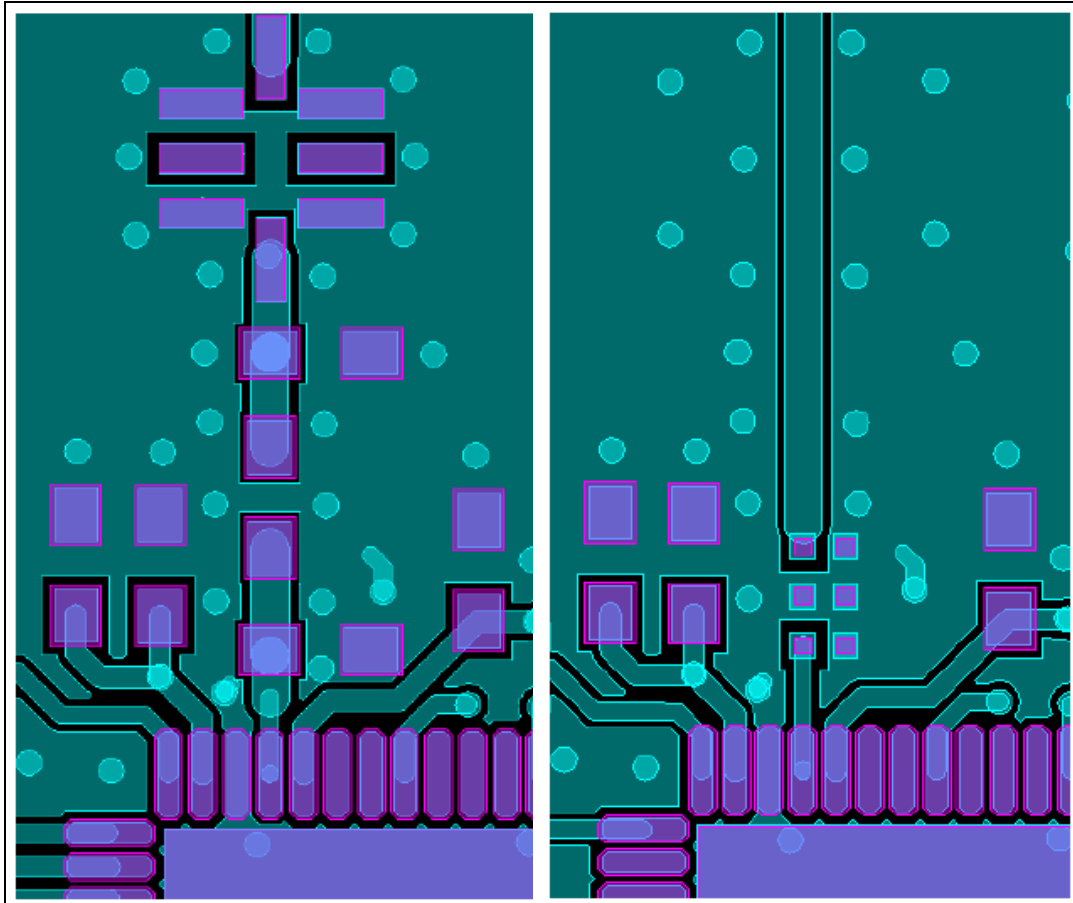
IPD封装的底视图如图 43中所示。

图43. IPD封装（无凸块CSP）



因此，可大大简化PCB，如图44所示。

图44. 采用分离匹配网络（左）和IPD（右）的PCB布局



请注意，可以进一步减小IPD输出和RF输出之间的走线长度，以减小PCB的尺寸。这可以通过降低该走线长度所造成的损耗来改善RF性能。

总之，IPD参考MLPF-WB55-01E3可替代2层PCB QFN封装的STM32WB的RF输出网络（仍需要天线滤波器）。与分立RF输出网络相比，这将缩减PCB尺寸和材料清单，同时确保相同的RF性能。IPD解决方案的另一个优点为量产的性能稳定性（与分立元件相比，参数离散度更低）。

9 结论

STM32WB系列微控制器集成了高性能RF前端。

为实现最佳TX和RX性能，在PCB设计期间必须解决几个方面的问题：

- PCB技术选择（层数、基底技术）
- 天线匹配和滤波网络计算
- 地平面以及关键RF元件的放置和走线
- SMPS和LSE元件的放置（如果使用）

本应用笔记提供了有用的指南，这些指南用于帮助用户实现STM32WB数据手册中所述的性能。

10 版本历史

表3. 文档版本历史

日期	版本	变更
2018年9月14日	1	初始版本。
2019年1月18日	2	增加了 第 8 节：带IPD的UFQFN48/VFQFN68参考板 。
2019年1月28日	3	文档分类由限于ST公司变为公开发布。

表4. 中文文档版本历史

日期	版本	变更
2021年7月14日	1	中文初始版本。

重要通知 - 请仔细阅读

意法半导体公司及其子公司（“ST”）保留随时对 ST 产品和 / 或本文档进行变更、更正、增强、修改和改进的权利，恕不另行通知。买方在订货之前应获取关于 ST 产品的最新信息。ST 产品的销售依照订单确认时的相关 ST 销售条款。

买方自行负责对 ST 产品的选择和使用，ST 概不承担与应用协助或买方产品设计相关的任何责任。

ST 不对任何知识产权进行任何明示或默示的授权或许可。

转售的 ST 产品如有不同于此处提供的信息的规定，将导致 ST 针对该产品授予的任何保证失效。

ST 和 ST 徽标是 ST 的商标。若需 ST 商标的更多信息，请参考 www.st.com/trademarks。所有其他产品或服务名称均为其各自所有者的财产。

本文档中的信息取代本文档所有早期版本中提供的信息。

© 2021 STMicroelectronics - 保留所有权利